

29º Colóquio Brasileiro de Matemática

Rio de Janeiro – Julho, 2013

# Otimização de Médias sobre Grafos Orientados

Aula 08 – Álgebra Min-Plus III

Eduardo Garibaldi

João Tiago Assunção Gomes

IMECC, Universidade Estadual de Campinas

## Introduzimos as estruturas algébricas *min-plus*

$$(\mathbb{R} \cup \{+\infty\}, \oplus, \otimes),$$

$$((\mathbb{R} \cup \{+\infty\})^n, \odot, \oplus) \quad \text{e}$$

$$((\mathbb{R} \cup \{+\infty\})^{n \times n}, \odot, \oplus, \otimes),$$

discutimos seus pormenores e examinaremos o problema de autovalor e autovetores

$$S \otimes \vec{v} = \tau \odot \vec{v}.$$

Além disso, iniciamos uma lista de relações entre a álgebra *min-plus* e a otimização de médias.

- Exibimos bijeção entre os custo e as matrizes em  $(\mathbb{R} \cup \{+\infty\})^{n \times n}$ ;
- Estabelecemos a relação  $\tau_S = m(c)$ ;
- Mostramos que autovetores e corretores calibrados são conceitos equivalentes.



Introduzimos as estruturas algébricas *min-plus*

$$(\mathbb{R} \cup \{+\infty\}, \oplus, \otimes),$$

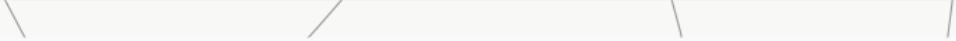
$$((\mathbb{R} \cup \{+\infty\})^n, \odot, \oplus) \quad \text{e}$$

$$((\mathbb{R} \cup \{+\infty\})^{n \times n}, \odot, \oplus, \otimes),$$



discutimos seus pormenores e examinaremos o problema de autovalor e autovetores

$$S \otimes \vec{v} = \tau \odot \vec{v}.$$



Além disso, iniciamos uma lista de relações entre a álgebra *min-plus* e a otimização de médias.

- Exibimos bijeção entre os custo e as matrizes em  $(\mathbb{R} \cup \{+\infty\})^{n \times n}$ ;
- Estabelecemos a relação  $\tau_S = m(c)$ ;
- Mostramos que autovetores e corretores calibrados são conceitos equivalentes.



Introduzimos as estruturas algébricas *min-plus*

$$(\mathbb{R} \cup \{+\infty\}, \oplus, \otimes),$$

$$((\mathbb{R} \cup \{+\infty\})^n, \odot, \oplus) \quad \text{e}$$

$$((\mathbb{R} \cup \{+\infty\})^{n \times n}, \odot, \oplus, \otimes),$$

discutimos seus pormenores e examinaremos o problema de autovalor e autovetores

$$S \otimes \vec{v} = \tau \odot \vec{v}.$$

Além disso, iniciamos uma lista de relações entre a álgebra *min-plus* e a otimização de médias.

- Exibimos bijeção entre os custo e as matrizes em  $(\mathbb{R} \cup \{+\infty\})^{n \times n}$ ;
- Estabelecemos a relação  $\tau_S = m(c)$ ;
- Mostramos que autovetores e corretores calibrados são conceitos equivalentes.

Introduzimos as estruturas algébricas *min-plus*

$$(\mathbb{R} \cup \{+\infty\}, \oplus, \otimes),$$

$$((\mathbb{R} \cup \{+\infty\})^n, \odot, \oplus) \quad \text{e}$$

$$((\mathbb{R} \cup \{+\infty\})^{n \times n}, \odot, \oplus, \otimes),$$

discutimos seus pormenores e examinaremos o problema de autovalor e autovetores

$$S \otimes \vec{v} = \tau \odot \vec{v}.$$

Além disso, iniciamos uma lista de relações entre a álgebra *min-plus* e a otimização de médias.

- Exibimos bijeção entre os custo e as matrizes em  $(\mathbb{R} \cup \{+\infty\})^{n \times n}$ ;
- Estabelecemos a relação  $\tau_S = m(c)$ ;
- Mostramos que autovetores e corretores calibrados são conceitos equivalentes.



Introduzimos as estruturas algébricas *min-plus*

$$(\mathbb{R} \cup \{+\infty\}, \oplus, \otimes),$$

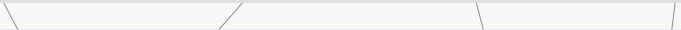
$$((\mathbb{R} \cup \{+\infty\})^n, \odot, \oplus) \quad \text{e}$$

$$((\mathbb{R} \cup \{+\infty\})^{n \times n}, \odot, \oplus, \otimes),$$



discutimos seus pormenores e examinaremos o problema de autovalor e autovetores

$$S \otimes \vec{v} = \tau \odot \vec{v}.$$



Além disso, iniciamos uma lista de relações entre a álgebra *min-plus* e a otimização de médias.

- Exibimos bijeção entre os custo e as matrizes em  $(\mathbb{R} \cup \{+\infty\})^{n \times n}$ ;
- Estabelecemos a relação  $\tau_S = m(c)$ ;
- Mostramos que autovetores e corretores calibrados são conceitos equivalentes.



Introduzimos as estruturas algébricas *min-plus*

$$(\mathbb{R} \cup \{+\infty\}, \oplus, \otimes),$$

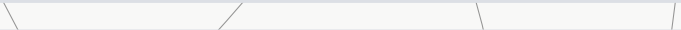
$$((\mathbb{R} \cup \{+\infty\})^n, \odot, \oplus) \quad \text{e}$$

$$((\mathbb{R} \cup \{+\infty\})^{n \times n}, \odot, \oplus, \otimes),$$



discutimos seus pormenores e examinaremos o problema de autovalor e autovetores

$$S \otimes \vec{v} = \tau \odot \vec{v}.$$



Além disso, iniciamos uma lista de relações entre a álgebra *min-plus* e a otimização de médias.

- Exibimos bijeção entre os custo e as matrizes em  $(\mathbb{R} \cup \{+\infty\})^{n \times n}$ ;
- Estabelecemos a relação  $\tau_S = m(c)$ ;
- Mostramos que autovetores e corretores calibrados são conceitos equivalentes.

Introduzimos as estruturas algébricas *min-plus*

$$(\mathbb{R} \cup \{+\infty\}, \oplus, \otimes),$$

$$((\mathbb{R} \cup \{+\infty\})^n, \odot, \oplus) \quad \text{e}$$

$$((\mathbb{R} \cup \{+\infty\})^{n \times n}, \odot, \oplus, \otimes),$$

discutimos seus pormenores e examinaremos o problema de autovalor e autovetores

$$S \otimes \vec{v} = \tau \odot \vec{v}.$$

Além disso, iniciamos uma lista de relações entre a álgebra *min-plus* e a otimização de médias.

- Exibimos bijeção entre os custo e as matrizes em  $(\mathbb{R} \cup \{+\infty\})^{n \times n}$ ;
- Estabelecemos a relação  $\tau_S = m(c)$ ;
- Mostramos que autovetores e corretores calibrados são conceitos equivalentes.

### Resumo:

- Discutiremos o comportamento da série

$$I \oplus ((-\tau_S) \odot S) \oplus ((-\tau_S) \odot S)^{2^\otimes} \oplus ((-\tau_S) \odot S)^{3^\otimes} \oplus \dots,$$

responsável pela caracterização do operador de Kleene  $S^*$

- Complementaremos a lista de relações entre a álgebra *min-plus* e a otimização de médias.
- Estenderemos o conceito de autovetores introduzindo a noção de subautovetores.
- Apresentaremos o subgrafo crítico (em correspondência direta com o conjunto cílico minimal) para poder caracterizar processo de renormalização e discutir a noção de subautovetor separante.
- Faremos uma análise geométrica dos conjuntos formados pelos autovalores e subautovetores.

### Resumo:

- Discutiremos o comportamento da série

$$I \oplus ((-\tau_S) \odot S) \oplus ((-\tau_S) \odot S)^{2^\otimes} \oplus ((-\tau_S) \odot S)^{3^\otimes} \oplus \dots,$$

responsável pela caracterização do operador de Kleene  $S^*$

- Complementaremos a lista de relações entre a álgebra *min-plus* e a otimização de médias.
- Estenderemos o conceito de autovetores introduzindo a noção de subautovetores.
- Apresentaremos o subgrafo crítico (em correspondência direta com o conjunto cílico minimal) para poder caracterizar processo de renormalização e discutir a noção de subautovetor separante.
- Faremos uma análise geométrica dos conjuntos formados pelos autovalores e subautovetores.

### Resumo:

- Discutiremos o comportamento da série

$$I \oplus ((-\tau_S) \odot S) \oplus ((-\tau_S) \odot S)^{2^\otimes} \oplus ((-\tau_S) \odot S)^{3^\otimes} \oplus \dots,$$

responsável pela caracterização do operador de Kleene  $S^*$

- Complementaremos a lista de relações entre a álgebra *min-plus* e a otimização de médias.
- Estenderemos o conceito de autovetores introduzindo a noção de subautovetores.
- Apresentaremos o subgrafo crítico (em correspondência direta com o conjunto cílico minimal) para poder caracterizar processo de renormalização e discutir a noção de subautovetor separante.
- Faremos uma análise geométrica dos conjuntos formados pelos autovalores e subautovetores.

### Resumo:

- Discutiremos o comportamento da série

$$I \oplus ((-\tau_S) \odot S) \oplus ((-\tau_S) \odot S)^{2^\otimes} \oplus ((-\tau_S) \odot S)^{3^\otimes} \oplus \dots,$$

responsável pela caracterização do operador de Kleene  $S^*$

- Complementaremos a lista de relações entre a álgebra *min-plus* e a otimização de médias.
- Estenderemos o conceito de autovetores introduzindo a noção de subautovetores.
- Apresentaremos o subgrafo crítico (em correspondência direta com o conjunto cílico minimal) para poder caracterizar processo de renormalização e discutir a noção de subautovetor separante.
- Faremos uma análise geométrica dos conjuntos formados pelos autovalores e subautovetores.

### Resumo:

- Discutiremos o comportamento da série

$$I \oplus ((-\tau_S) \odot S) \oplus ((-\tau_S) \odot S)^{2^\otimes} \oplus ((-\tau_S) \odot S)^{3^\otimes} \oplus \dots,$$

responsável pela caracterização do operador de Kleene  $S^*$

- Complementaremos a lista de relações entre a álgebra *min-plus* e a otimização de médias.
- Estenderemos o conceito de autovetores introduzindo a noção de subautovetores.
- Apresentaremos o subgrafo crítico (em correspondência direta com o conjunto cílico minimal) para poder caracterizar processo de renormalização e discutir a noção de subautovetor separante.
- Faremos uma análise geométrica dos conjuntos formados pelos autovalores e subautovetores.

Sumário

1 Operador de Kleene

2 Subautovetores

Subgrafo crítico e propriedade separante

Propriedades geométricas

3 Dicionário

Sumário

1 Operador de Kleene

2 Subautovetores

Subgrafo crítico e propriedade separante

Propriedades geométricas

3 Dicionário

## Operador de Kleene

Retornamos ao estudo da álgebra *min-plus* com a meta de

entender o comportamento da série

$$I \oplus ((-\tau_S) \odot S) \oplus ((-\tau_S) \odot S)^{2^\otimes} \oplus ((-\tau_S) \odot S)^{3^\otimes} \oplus \dots$$

e determinar sua convergência para algum  $S^*$  de  $(\mathbb{R} \cup \{+\infty\})^{n \times n}$ .

### Observação

Destacamos que este conceito não aparece de forma inusitada. Considere matriz  $S$  irredutível com  $\tau_S = 0$ . Recorde que a série

$$S^\infty = S \oplus S^{2^\otimes} \oplus S^{3^\otimes} \oplus S^{4^\otimes} \oplus \dots$$

está bem definida e suas entradas são números reais.

$$\text{Exemplo: } S = \begin{pmatrix} 0 & 1 & 0 \\ 0 & 0 & 1 \\ 1 & 0 & 0 \end{pmatrix}$$

$$S^\infty = \begin{pmatrix} 0 & 1 & 0 \\ 0 & 0 & 1 \\ 1 & 0 & 0 \end{pmatrix} \oplus \begin{pmatrix} 0 & 1 & 0 \\ 0 & 0 & 1 \\ 1 & 0 & 0 \end{pmatrix}^{2^\otimes} \oplus \begin{pmatrix} 0 & 1 & 0 \\ 0 & 0 & 1 \\ 1 & 0 & 0 \end{pmatrix}^{3^\otimes} \oplus \dots$$

## Operador de Kleene

Retornamos ao estudo da álgebra *min-plus* com a meta de

entender o comportamento da série

$$I \oplus ((-\tau_S) \odot S) \oplus ((-\tau_S) \odot S)^{2^\otimes} \oplus ((-\tau_S) \odot S)^{3^\otimes} \oplus \dots$$

e determinar sua convergência para algum  $S^*$  de  $(\mathbb{R} \cup \{+\infty\})^{n \times n}$ .

### Observação

Destacamos que este conceito não aparece de forma inusitada. Considere matriz  $S$  irredutível com  $\tau_S = 0$ . Recorde que a série

$$S^\infty = S \oplus S^{2^\otimes} \oplus S^{3^\otimes} \oplus S^{4^\otimes} \oplus \dots$$

está bem definida e suas entradas são números reais. Além disso,

$$I \oplus S^\infty = I \oplus S \oplus S^{2^\otimes} \oplus \dots S^{(n-1)^\otimes}.$$

## Operador de Kleene

Retornamos ao estudo da álgebra *min-plus* com a meta de

entender o comportamento da série

$$I \oplus ((-\tau_S) \odot S) \oplus ((-\tau_S) \odot S)^{2^\otimes} \oplus ((-\tau_S) \odot S)^{3^\otimes} \oplus \dots$$

e determinar sua convergência para algum  $S^*$  de  $(\mathbb{R} \cup \{+\infty\})^{n \times n}$ .

### Observação

Destacamos que este conceito não aparece de forma inusitada. Considere matriz  $S$  irredutível com  $\tau_S = 0$ . Recorde que a série

$$S^\infty = S \oplus S^{2^\otimes} \oplus S^{3^\otimes} \oplus S^{4^\otimes} \oplus \dots$$

está bem definida e suas entradas são números reais. Além disso,

$$I \oplus S^\infty = I \oplus S \oplus S^{2^\otimes} \oplus \dots S^{(n-1)^\otimes}.$$

Consequentemente, ao menos para o caso com  $\tau_S = 0$ , temos a convergência da série em questão.

## Operador de Kleene

Retornamos ao estudo da álgebra *min-plus* com a meta de

entender o comportamento da série

$$I \oplus ((-\tau_S) \odot S) \oplus ((-\tau_S) \odot S)^{2^\otimes} \oplus ((-\tau_S) \odot S)^{3^\otimes} \oplus \dots$$

e determinar sua convergência para algum  $S^*$  de  $(\mathbb{R} \cup \{+\infty\})^{n \times n}$ .

### Observação

Destacamos que este conceito não aparece de forma inusitada. Considere matriz  $S$  irredutível com  $\tau_S = 0$ . Recorde que a série

$$S^\infty = S \oplus S^{2^\otimes} \oplus S^{3^\otimes} \oplus S^{4^\otimes} \oplus \dots$$

está bem definida e suas entradas são números reais. Além disso,

$$I \oplus S^\infty = I \oplus S \oplus S^{2^\otimes} \oplus \dots S^{(n-1)^\otimes}.$$

Consequentemente, ao menos para o caso com  $\tau_S = 0$ , temos a convergência da série em questão.

## Operador de Kleene

Retornamos ao estudo da álgebra *min-plus* com a meta de

entender o comportamento da série

$$I \oplus ((-\tau_S) \odot S) \oplus ((-\tau_S) \odot S)^{2^\otimes} \oplus ((-\tau_S) \odot S)^{3^\otimes} \oplus \dots$$

e determinar sua convergência para algum  $S^*$  de  $(\mathbb{R} \cup \{+\infty\})^{n \times n}$ .

### Observação

Destacamos que este conceito não aparece de forma inusitada. Considere matriz  $S$  irredutível com  $\tau_S = 0$ . Recorde que a série

$$S^\infty = S \oplus S^{2^\otimes} \oplus S^{3^\otimes} \oplus S^{4^\otimes} \oplus \dots$$

está bem definida e suas entradas são números reais. Além disso,

$$I \oplus S^\infty = I \oplus S \oplus S^{2^\otimes} \oplus \dots S^{(n-1)^\otimes}.$$

Consequentemente, ao menos para o caso com  $\tau_S = 0$ , temos a convergência da série em questão.

Veremos abaixo que esta convergência ocorre em geral.

## Proposição

Seja  $S \in (\mathbb{R} \cup \{+\infty\})^{n \times n}$  uma matriz irredutível. Então, vale a igualdade

$$\begin{aligned} S^* &:= \bigoplus_{k=0}^{\infty} ((-\tau_S) \odot S)^{k \otimes} \\ &= I \oplus ((-\tau_S) \odot S) \oplus ((-\tau_S) \odot S)^{2 \otimes} \oplus \dots \oplus ((-\tau_S) \odot S)^{(n-1) \otimes}, \end{aligned}$$

sendo todas as entradas  $S^*(i,j)$  números reais. Ademais,  $\tau_{S^*} = 0$ .

Veremos abaixo que esta convergência ocorre em geral.

## Proposição

Seja  $S \in (\mathbb{R} \cup \{+\infty\})^{n \times n}$  uma matriz irredutível. Então, vale a igualdade

$$\begin{aligned} S^* &:= \bigoplus_{k=0}^{\infty} ((-\tau_S) \odot S)^{k \otimes} \\ &= I \oplus ((-\tau_S) \odot S) \oplus ((-\tau_S) \odot S)^{2 \otimes} \oplus \dots \oplus ((-\tau_S) \odot S)^{(n-1) \otimes}, \end{aligned}$$

sendo todas as entradas  $S^*(i,j)$  números reais. Ademais,  $\tau_{S^*} = 0$ .

Tal operador recebe a denominação de operador de Kleene (ou estrela de Kleene) associado à matriz  $S$ .

Veremos abaixo que esta convergência ocorre em geral.

## Proposição

Seja  $S \in (\mathbb{R} \cup \{+\infty\})^{n \times n}$  uma matriz irredutível. Então, vale a igualdade

$$\begin{aligned} S^* &:= \bigoplus_{k=0}^{\infty} ((-\tau_S) \odot S)^{k \otimes} \\ &= I \oplus ((-\tau_S) \odot S) \oplus ((-\tau_S) \odot S)^{2 \otimes} \oplus \dots \oplus ((-\tau_S) \odot S)^{(n-1) \otimes}, \end{aligned}$$

sendo todas as entradas  $S^*(i,j)$  números reais. Ademais,  $\tau_{S^*} = 0$ .

Tal operador recebe a denominação de operador de Kleene (ou estrela de Kleene) associado à matriz  $S$ .

Veremos abaixo que esta convergência ocorre em geral.

## Proposição

Seja  $S \in (\mathbb{R} \cup \{+\infty\})^{n \times n}$  uma matriz irredutível. Então, vale a igualdade

$$\begin{aligned} S^* &:= \bigoplus_{k=0}^{\infty} ((-\tau_S) \odot S)^{k \otimes} \\ &= I \oplus ((-\tau_S) \odot S) \oplus ((-\tau_S) \odot S)^{2 \otimes} \oplus \dots \oplus ((-\tau_S) \odot S)^{(n-1) \otimes}, \end{aligned}$$

sendo todas as entradas  $S^*(i,j)$  números reais. Ademais,  $\tau_{S^*} = 0$ .

Tal operador recebe a denominação de operador de Kleene (ou estrela de Kleene) associado à matriz  $S$ .

## Exemplo

Considere a matriz irredutível

$$S = \begin{bmatrix} +\infty & 3 & 7 \\ 5 & +\infty & +\infty \\ +\infty & -1 & 2 \end{bmatrix} \quad ((-\tau_S) \odot S)^{2^\otimes} = \begin{bmatrix} 4 & 2 & 5 \\ +\infty & 4 & 8 \\ 0 & -3 & 0 \end{bmatrix}$$

cuja média cílica minimal é  $\tau_S = 2$ .

Pela proposição anterior, temos o operador de Kleene

$$S^* = I \oplus ((-\tau_S) \odot S) \oplus ((-\tau_S) \odot S)^{2^\otimes} = \begin{bmatrix} 0 & 1 & 5 \\ 3 & 0 & 8 \\ 0 & -3 & 0 \end{bmatrix}.$$

Além disso, observe que

$$((-\tau_S) \odot S)^\infty = \begin{bmatrix} 4 & 1 & 5 \\ 3 & 4 & 8 \\ 0 & -3 & 0 \end{bmatrix}.$$

## Exemplo

Considere a matriz irredutível

$$S = \begin{bmatrix} +\infty & 3 & 7 \\ 5 & +\infty & +\infty \\ +\infty & -1 & 2 \end{bmatrix} \quad ((-\tau_S) \odot S)^{2^\otimes} = \begin{bmatrix} 4 & 2 & 5 \\ +\infty & 4 & 8 \\ 0 & -3 & 0 \end{bmatrix}$$

cuja média cílica minimal é  $\tau_S = 2$ .

Pela proposição anterior, temos o operador de Kleene

$$S^* = I \oplus ((-\tau_S) \odot S) \oplus ((-\tau_S) \odot S)^{2^\otimes} = \begin{bmatrix} 0 & 1 & 5 \\ 3 & 0 & 8 \\ 0 & -3 & 0 \end{bmatrix}.$$

Além disso, observe que

$$((-\tau_S) \odot S)^\infty = \begin{bmatrix} 4 & 1 & 5 \\ 3 & 4 & 8 \\ 0 & -3 & 0 \end{bmatrix}.$$

## Exemplo

Considere a matriz irredutível

$$S = \begin{bmatrix} +\infty & 3 & 7 \\ 5 & +\infty & +\infty \\ +\infty & -1 & 2 \end{bmatrix} \quad ((-\tau_S) \odot S)^{2^\otimes} = \begin{bmatrix} 4 & 2 & 5 \\ +\infty & 4 & 8 \\ 0 & -3 & 0 \end{bmatrix}$$

cuja média cílica minimal é  $\tau_S = 2$ .

Pela proposição anterior, temos o operador de Kleene

$$S^* = I \oplus ((-\tau_S) \odot S) \oplus ((-\tau_S) \odot S)^{2^\otimes} = \begin{bmatrix} 0 & 1 & 5 \\ 3 & 0 & 8 \\ 0 & -3 & 0 \end{bmatrix}.$$

Além disso, observe que

$$((-\tau_S) \odot S)^\infty = \begin{bmatrix} 4 & 1 & 5 \\ 3 & 4 & 8 \\ 0 & -3 & 0 \end{bmatrix}.$$

## Exemplo

Considere a matriz irredutível

$$S = \begin{bmatrix} +\infty & 3 & 7 \\ 5 & +\infty & +\infty \\ +\infty & -1 & 2 \end{bmatrix} \quad ((-\tau_S) \odot S)^{2^\otimes} = \begin{bmatrix} 4 & 2 & 5 \\ +\infty & 4 & 8 \\ 0 & -3 & 0 \end{bmatrix}$$

cuja média cíclica minimal é  $\tau_S = 2$ .

Pela proposição anterior, temos o operador de Kleene

$$S^* = I \oplus ((-\tau_S) \odot S) \oplus ((-\tau_S) \odot S)^{2^\otimes} = \begin{bmatrix} 0 & 1 & 5 \\ 3 & 0 & 8 \\ 0 & -3 & 0 \end{bmatrix}.$$

Além disso, observe que

$$((-\tau_S) \odot S)^\infty = \begin{bmatrix} 4 & 1 & 5 \\ 3 & 4 & 8 \\ 0 & -3 & 0 \end{bmatrix}.$$

É possível identificar quando estamos lidando com um operador de Kleene.

## Proposição

Vale a equivalência:

$$S^* = S \Leftrightarrow \tau_S = 0, \quad S^{2^\otimes} = S \quad \text{e} \quad S(i, i) = 0, \quad \forall i = 1, 2, \dots, n.$$

Em particular, ocorre  $(S^*)^* = S^*$ .

Repare que este resultado fornece um teste de consistência.

## Exemplo

Para o exemplo anterior, pode-se de imediato verificar que

$$\begin{bmatrix} 0 & 1 & 5 \\ 3 & 0 & 8 \\ 0 & -3 & 0 \end{bmatrix} \otimes \begin{bmatrix} 0 & 1 & 5 \\ 3 & 0 & 8 \\ 0 & -3 & 0 \end{bmatrix} = \begin{bmatrix} 0 & 1 & 5 \\ 3 & 0 & 8 \\ 0 & -3 & 0 \end{bmatrix}.$$

Logo, de fato encontramos um operador de Kleene.

É possível identificar quando estamos lidando com um operador de Kleene.

## Proposição

Vale a equivalência:

$$S^* = S \Leftrightarrow \tau_S = 0, \quad S^{2^\otimes} = S \quad \text{e} \quad S(i, i) = 0, \quad \forall i = 1, 2, \dots, n.$$

Em particular, ocorre  $(S^*)^* = S^*$ .

Repare que este resultado fornece um teste de consistência.

## Exemplo

Para o exemplo anterior, pode-se de imediato verificar que

$$\begin{bmatrix} 0 & 1 & 5 \\ 3 & 0 & 8 \\ 0 & -3 & 0 \end{bmatrix} \otimes \begin{bmatrix} 0 & 1 & 5 \\ 3 & 0 & 8 \\ 0 & -3 & 0 \end{bmatrix} = \begin{bmatrix} 0 & 1 & 5 \\ 3 & 0 & 8 \\ 0 & -3 & 0 \end{bmatrix}.$$

Logo, de fato encontramos um operador de Kleene.

É possível identificar quando estamos lidando com um operador de Kleene.

## Proposição

Vale a equivalência:

$$S^* = S \Leftrightarrow \tau_S = 0, \quad S^{2^\otimes} = S \quad \text{e} \quad S(i, i) = 0, \quad \forall i = 1, 2, \dots, n.$$

Em particular, ocorre  $(S^*)^* = S^*$ .

Repare que este resultado fornece um teste de consistência.

## Exemplo

Para o exemplo anterior, pode-se de imediato verificar que

$$\begin{bmatrix} 0 & 1 & 5 \\ 3 & 0 & 8 \\ 0 & -3 & 0 \end{bmatrix} \otimes \begin{bmatrix} 0 & 1 & 5 \\ 3 & 0 & 8 \\ 0 & -3 & 0 \end{bmatrix} = \begin{bmatrix} 0 & 1 & 5 \\ 3 & 0 & 8 \\ 0 & -3 & 0 \end{bmatrix}.$$

Logo, de fato encontramos um operador de Kleene.

É possível identificar quando estamos lidando com um operador de Kleene.

## Proposição

Vale a equivalência:

$$S^* = S \Leftrightarrow \tau_S = 0, \quad S^{2^\otimes} = S \quad \text{e} \quad S(i, i) = 0, \quad \forall i = 1, 2, \dots, n.$$

Em particular, ocorre  $(S^*)^* = S^*$ .

Repare que este resultado fornece um teste de consistência.

## Exemplo

Para o exemplo anterior, pode-se de imediato verificar que

$$\begin{bmatrix} 0 & 1 & 5 \\ 3 & 0 & 8 \\ 0 & -3 & 0 \end{bmatrix} \otimes \begin{bmatrix} 0 & 1 & 5 \\ 3 & 0 & 8 \\ 0 & -3 & 0 \end{bmatrix} = \begin{bmatrix} 0 & 1 & 5 \\ 3 & 0 & 8 \\ 0 & -3 & 0 \end{bmatrix}.$$

Logo, de fato encontramos um operador de Kleene.

Matrizes que satisfazem propriedades semelhantes às de  $S^*$  terão utilidade posteriormente.

## Definition

- Uma matriz  $S$  é dita definida se  $\tau_S = 0$ .
- Se, além disso,  $S(i, i) = 0$  para todo  $i = 1, 2, \dots, n$ , dizemos que a matriz  $S$  é fortemente definida.

## Observação

Com relação a propriedade fortemente definida, observe que esta impõe, em particular, que todos os ciclos de comprimento 1 ( $i \xrightarrow{G} i$ , com  $i = 1, 2, \dots, n$ ) minimizam o custo associado  $c_S$ .

Matrizes que satisfazem propriedades semelhantes às de  $S^*$  terão utilidade posteriormente.

## Definition

- Uma matriz  $S$  é dita definida se  $\tau_S = 0$ .
- Se, além disso,  $S(i, i) = 0$  para todo  $i = 1, 2, \dots, n$ , dizemos que a matriz  $S$  é fortemente definida.

### Observação

Com relação a propriedade fortemente definida, observe que esta impõe, em particular, que todos os ciclos de comprimento 1 ( $i \xrightarrow{G} i$ , com  $i = 1, 2, \dots, n$ ) minimizam o custo associado  $c_S$ .

Matrizes que satisfazem propriedades semelhantes às de  $S^*$  terão utilidade posteriormente.

## Definition

- Uma matriz  $S$  é dita definida se  $\tau_S = 0$ .
- Se, além disso,  $S(i, i) = 0$  para todo  $i = 1, 2, \dots, n$ , dizemos que a matriz  $S$  é fortemente definida.

## Observação

Com relação a propriedade fortemente definida, observe que esta impõe, em particular, que todos os ciclos de comprimento 1 ( $i \xrightarrow{G} i$ , com  $i = 1, 2, \dots, n$ ) minimizam o custo associado  $c_S$ .

## Tradução em Otimização de Médias

Queremos entender como o operador de Kleene se transcreve dentro de otimização de médias. Considere a

matriz  $S_{c-m(c)} \in (\mathbb{R} \cup \{+\infty\})^{n \times n}$  associada ao custo  $c - m(c)$ .

$$S_{c-m(c)}^*(i, j) = \inf \left\{ k(c(P) - m(c)) : \begin{array}{l} P \text{ caminho em } G \\ \text{conectando } j \text{ a } i \text{ de} \\ \text{comprimento } k \geq 1 \end{array} \right\}.$$

## Tradução em Optimização de Médias

Queremos entender como o operador de Kleene se transcreve dentro de optimização de médias. Considere a

matriz  $S_{c-m(c)} \in (\mathbb{R} \cup \{+\infty\})^{n \times n}$  associada ao custo  $c - m(c)$ .

As entradas  $(i, j)$ , com  $i \neq j$ , do respectivo operador de Kleene podem ser apresentadas como

$$S_{c-m(c)}^*(i, j) = \inf \left\{ k(c(P) - m(c)) : \begin{array}{l} P \text{ caminho em } G \\ \text{conectando } j \text{ a } i \text{ de} \\ \text{comprimento } k \geq 1 \end{array} \right\}.$$

### Observação

O operador de Kleene pode ser visto como uma concretização algébrica de noção relevante em optimização de médias. Em particular, a expressão à direita da igualdade é a empregada na definição do potencial de Mañé.

## Tradução em Optimização de Médias

Queremos entender como o operador de Kleene se transcreve dentro de optimização de médias. Considere a

matriz  $S_{c-m(c)} \in (\mathbb{R} \cup \{+\infty\})^{n \times n}$  associada ao custo  $c - m(c)$ .

As entradas  $(i, j)$ , com  $i \neq j$ , do respectivo operador de Kleene podem ser apresentadas como

$$S_{c-m(c)}^{\star}(i, j) = \inf \left\{ k(c(P) - m(c)) : \begin{array}{l} P \text{ caminho em } G \\ \text{conectando } j \text{ a } i \text{ de} \\ \text{comprimento } k \geq 1 \end{array} \right\}.$$

### Observação

O operador de Kleene pode ser visto como uma concretização algébrica de noção relevante em optimização de médias. Em particular, a expressão à direita da igualdade é a empregada na definição do potencial de Mañé.

## Tradução em Optimização de Médias

Queremos entender como o operador de Kleene se transcreve dentro de optimização de médias. Considere a

matriz  $S_{c-m(c)} \in (\mathbb{R} \cup \{+\infty\})^{n \times n}$  associada ao custo  $c - m(c)$ .

As entradas  $(i, j)$ , com  $i \neq j$ , do respectivo operador de Kleene podem ser apresentadas como

$$S_{c-m(c)}^{\star}(i, j) = \inf \left\{ k(c(P) - m(c)) : \begin{array}{l} P \text{ caminho em } G \\ \text{conectando } j \text{ a } i \text{ de} \\ \text{comprimento } k \geq 1 \end{array} \right\}.$$

### Observação

O operador de Kleene pode ser visto como uma concretização algébrica de noção relevante em optimização de médias. Em particular, a expressão à direita da igualdade é a empregada na definição do potencial de Mañé.

Sumário

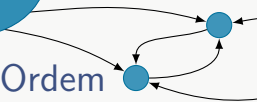
1 Operador de Kleene

2 Subautovetores

Subgrafo crítico e propriedade separante

Propriedades geométricas

3 Dicionário



Ordem

Considere agora a ordem parcial sobre  $((\mathbb{R} \cup \{+\infty\})^n, \odot, \oplus)$ ,

$$\vec{v} \preceq \vec{w} \Leftrightarrow \vec{v} \oplus \vec{w} = \vec{v}.$$

### Observação

Lembre-se que tal ordem não é a ordem lexicográfica apesar de sempre concordar com esta, isto é,  $\vec{v} \preceq \vec{w} \Rightarrow \vec{v} \leq \vec{w}$ .

Também definimos ordem parcial sobre  $((\mathbb{R} \cup \{+\infty\})^{n \times n}, \odot, \oplus, \otimes)$  por

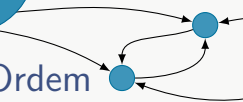
$$S \preceq R \Leftrightarrow S \oplus R = S.$$

### Observação

Vale a propriedade monótona do produto de uma matriz por um vetor e do produto matricial:

$$S_1 \preceq S_2 \Rightarrow S_1 \otimes \vec{v} \preceq S_2 \otimes \vec{v}, \quad \forall \vec{v} \in (\mathbb{R} \cup \{+\infty\})^n \quad \text{e}$$

$$S_1 \preceq S_2 \Rightarrow S_1 \otimes R \preceq S_2 \otimes R, \quad \forall R \in (\mathbb{R} \cup \{+\infty\})^{n \times n}.$$



Ordem

Considere agora a ordem parcial sobre  $((\mathbb{R} \cup \{+\infty\})^n, \odot, \oplus)$ ,

$$\vec{v} \preceq \vec{w} \Leftrightarrow \vec{v} \oplus \vec{w} = \vec{v}.$$

### Observação

Lembre-se que tal ordem não é a ordem lexicográfica apesar de sempre concordar com esta, isto é,  $\vec{v} \preceq \vec{w} \Rightarrow \vec{v} \leq \vec{w}$ .

Também definimos ordem parcial sobre  $((\mathbb{R} \cup \{+\infty\})^{n \times n}, \odot, \oplus, \otimes)$  por

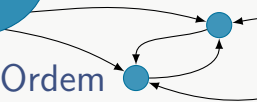
$$S \preceq R \Leftrightarrow S \oplus R = S.$$

### Propriedades

Vale a propriedade monótona do produto de uma matriz por um vetor e do produto matricial:

$$S_1 \preceq S_2 \Rightarrow S_1 \otimes \vec{v} \preceq S_2 \otimes \vec{v}, \quad \forall \vec{v} \in (\mathbb{R} \cup \{+\infty\})^n \quad \text{e}$$

$$S_1 \preceq S_2 \Rightarrow S_1 \otimes R \preceq S_2 \otimes R, \quad \forall R \in (\mathbb{R} \cup \{+\infty\})^{n \times n}.$$



Ordem

Considere agora a ordem parcial sobre  $((\mathbb{R} \cup \{+\infty\})^n, \odot, \oplus)$ ,

$$\vec{v} \preceq \vec{w} \Leftrightarrow \vec{v} \oplus \vec{w} = \vec{v}.$$

### Observação

Lembre-se que tal ordem não é a ordem lexicográfica apesar de sempre concordar com esta, isto é,  $\vec{v} \preceq \vec{w} \Rightarrow \vec{v} \leq \vec{w}$ .

Também definimos ordem parcial sobre  $((\mathbb{R} \cup \{+\infty\})^{n \times n}, \odot, \oplus, \otimes)$  por

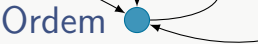
$$S \preceq R \Leftrightarrow S \oplus R = S.$$

### Observação

Vale a propriedade monótona do produto de uma matriz por um vetor e do produto matricial:

$$S_1 \preceq S_2 \Rightarrow S_1 \otimes \vec{v} \preceq S_2 \otimes \vec{v}, \quad \forall \vec{v} \in (\mathbb{R} \cup \{+\infty\})^n \quad \text{e}$$

$$S_1 \preceq S_2 \Rightarrow S_1 \otimes R \preceq S_2 \otimes R, \quad \forall R \in (\mathbb{R} \cup \{+\infty\})^{n \times n}.$$



Ordem

Considere agora a ordem parcial sobre  $((\mathbb{R} \cup \{+\infty\})^n, \odot, \oplus)$ ,

$$\vec{v} \preceq \vec{w} \iff \vec{v} \oplus \vec{w} = \vec{v}.$$

### Observação

Lembre-se que tal ordem não é a ordem lexicográfica apesar de sempre concordar com esta, isto é,  $\vec{v} \preceq \vec{w} \Rightarrow \vec{v} \leq \vec{w}$ .

Também definimos ordem parcial sobre  $((\mathbb{R} \cup \{+\infty\})^{n \times n}, \odot, \oplus, \otimes)$  por

$$S \preceq R \iff S \oplus R = S.$$

### Observação

Vale a propriedade monótona do produto de uma matriz por um vetor e do produto matricial:

$$S_1 \preceq S_2 \Rightarrow S_1 \otimes \vec{v} \preceq S_2 \otimes \vec{v}, \quad \forall \vec{v} \in (\mathbb{R} \cup \{+\infty\})^n \quad \text{e}$$

$$S_1 \preceq S_2 \Rightarrow S_1 \otimes R \preceq S_2 \otimes R, \quad \forall R \in (\mathbb{R} \cup \{+\infty\})^{n \times n}.$$

## Subautovetores

Com auxílio deste tipo de ordem parcial, consideramos uma noção mais abrangente que a de autovetor.

### Definição

Dizemos que  $\vec{u}$  é um subautovetor para uma matriz irredutível  $S$  sempre que

$$\tau_S \odot \vec{u} \preceq S \otimes \vec{u},$$

ou equivalentemente quando  $(\tau_S \odot \vec{u}) \oplus (S \otimes \vec{u}) = \tau_S \odot \vec{u}$ .

Como vimos,

a constante cíclica minimal nada mais é que a média cíclica minimal e autovetores correspondem a corretores calibrados.

$$u(j) + m(c) = (\tau_{S_c} \odot \vec{u})_j \leq (S_c \otimes \vec{u})_j = \min_{i \preceq j} [u(i) + c(i,j)].$$

## Subautovetores

Com auxílio deste tipo de ordem parcial, consideramos uma noção mais abrangente que a de autovetor.

### Definição

Dizemos que  $\vec{u}$  é um subautovetor para uma matriz irredutível  $S$  sempre que

$$\tau_S \odot \vec{u} \preceq S \otimes \vec{u},$$

ou equivalentemente quando  $(\tau_S \odot \vec{u}) \oplus (S \otimes \vec{u}) = \tau_S \odot \vec{u}$ .

Como vimos,

a constante cíclica minimal nada mais é que a média cíclica minimal e autovetores correspondem a corretores calibrados.

Não há surpresa com o fato que a desigualdade vetorial  $\tau_{S_c} \odot \vec{u} \preceq S_c \otimes \vec{u}$ , quando vista em termo de suas entradas, fornece para todo  $j = 1, 2, \dots, n$

$$u(j) + m(c) = (\tau_{S_c} \odot \vec{u})_j \leq (S_c \otimes \vec{u})_j = \min_{i \xrightarrow{G} j} [u(i) + c(i, j)].$$

## Subautovetores

Com auxílio deste tipo de ordem parcial, consideramos uma noção mais abrangente que a de autovetor.

### Definição

Dizemos que  $\vec{u}$  é um subautovetor para uma matriz irredutível  $S$  sempre que

$$\tau_S \odot \vec{u} \preceq S \otimes \vec{u},$$

ou equivalentemente quando  $(\tau_S \odot \vec{u}) \oplus (S \otimes \vec{u}) = \tau_S \odot \vec{u}$ .

Como vimos,

a constante cíclica minimal nada mais é que a média cíclica minimal e autovetores correspondem a corretores calibrados.

Não há surpresa com o fato que a desigualdade vetorial  $\tau_{S_c} \odot \vec{u} \preceq S_c \otimes \vec{u}$ , quando vista em termo de suas entradas, fornece para todo  $j = 1, 2, \dots, n$

$$u(j) + m(c) = (\tau_{S_c} \odot \vec{u})_j \leq (S_c \otimes \vec{u})_j = \min_{i \xrightarrow{G} j} [u(i) + c(i, j)].$$

Portanto,

o conceito de subautovetor da matriz  $S_c$  coincidem com a noção usual de corretor associado ao custo  $c$  segundo a otimização de médias.

No restante desta aula, assumiremos como hipótese padrão que

a matriz  $S$  é definida, ou seja,  $\tau_S = 0$ .

$$\vec{u} \text{ é autovetor} \quad \Leftrightarrow \quad S \otimes \vec{u} = \vec{u},$$

Além disso, esta suposição não significa perda de generalidade, já que os resultados para o caso geral poderão ser obtidos ao se lidar com a matriz  $(-\tau_S) \otimes S$ .

Portanto,

o conceito de subautovetor da matriz  $S_c$  coincidem com a noção usual de corretor associado ao custo  $c$  segundo a otimização de médias.

No restante desta aula, assumiremos como hipótese padrão que

a matriz  $S$  é definida, ou seja,  $\tau_S = 0$ .

Imediatamente tal condição garante simplificações como, por exemplo,

$$\begin{array}{ll} \vec{u} \text{ é autovetor} & \Leftrightarrow S \otimes \vec{u} = \vec{u}, \\ \vec{u} \text{ é subautovetor} & \Leftrightarrow \vec{u} \leq S \otimes \vec{u} \\ \text{ou } S^* = I \oplus S \oplus S^{2*} \oplus \dots \oplus S^{(n-1)*}. \end{array}$$

Portanto,

o conceito de subautovetor da matriz  $S_c$  coincidem com a noção usual de corretor associado ao custo  $c$  segundo a otimização de médias.

No restante desta aula, assumiremos como hipótese padrão que

a matriz  $S$  é definida, ou seja,  $\tau_S = 0$ .

Imediatamente tal condição garante simplificações como, por exemplo,

$$\begin{array}{lll} \vec{u} \text{ é autovetor} & \Leftrightarrow & S \otimes \vec{u} = \vec{u}, \\ \vec{u} \text{ é subautovetor} & \Leftrightarrow & \vec{u} \preceq S \otimes \vec{u} \\ \text{ou } S^* = I \oplus S \oplus S^{2\otimes} \oplus \cdots \oplus S^{(n-1)\otimes}. \end{array}$$

Além disso, esta suposição não significa perda de generalidade, já que os resultados para o caso geral poderão ser obtidos ao se lidar com a matriz  $(-\tau_S) \odot S$ .

Portanto,

o conceito de subautovetor da matriz  $S_c$  coincidem com a noção usual de corretor associado ao custo  $c$  segundo a otimização de médias.

No restante desta aula, assumiremos como hipótese padrão que

a matriz  $S$  é definida, ou seja,  $\tau_S = 0$ .

Imediatamente tal condição garante simplificações como, por exemplo,

$$\begin{array}{lll} \vec{u} \text{ é autovetor} & \Leftrightarrow & S \otimes \vec{u} = \vec{u}, \\ \vec{u} \text{ é subautovetor} & \Leftrightarrow & \vec{u} \preceq S \otimes \vec{u} \\ \text{ou } S^* = I \oplus S \oplus S^{2\otimes} \oplus \cdots \oplus S^{(n-1)\otimes}. \end{array}$$

Além disso, esta suposição não significa perda de generalidade, já que os resultados para o caso geral poderão ser obtidos ao se lidar com a matriz  $(-\tau_S) \odot S$ .

Portanto,

o conceito de subautovetor da matriz  $S_c$  coincidem com a noção usual de corretor associado ao custo  $c$  segundo a otimização de médias.

No restante desta aula, assumiremos como hipótese padrão que

a matriz  $S$  é definida, ou seja,  $\tau_S = 0$ .

Imediatamente tal condição garante simplificações como, por exemplo,

$$\begin{array}{lll} \vec{u} \text{ é autovetor} & \Leftrightarrow & S \otimes \vec{u} = \vec{u}, \\ \vec{u} \text{ é subautovetor} & \Leftrightarrow & \vec{u} \preceq S \otimes \vec{u} \\ \text{ou } S^{\star} = I \oplus S \oplus S^{2^{\otimes}} \oplus \cdots \oplus S^{(n-1)^{\otimes}}. \end{array}$$

Além disso, esta suposição não significa perda de generalidade, já que os resultados para o caso geral poderão ser obtidos ao se lidar com a matriz  $(-\tau_S) \odot S$ .

Portanto,

o conceito de subautovetor da matriz  $S_c$  coincidem com a noção usual de corretor associado ao custo  $c$  segundo a otimização de médias.

No restante desta aula, assumiremos como hipótese padrão que

a matriz  $S$  é definida, ou seja,  $\tau_S = 0$ .

Imediatamente tal condição garante simplificações como, por exemplo,

$$\begin{array}{lll} \vec{u} \text{ é autovetor} & \Leftrightarrow & S \otimes \vec{u} = \vec{u}, \\ \vec{u} \text{ é subautovetor} & \Leftrightarrow & \vec{u} \preceq S \otimes \vec{u} \\ \text{ou } S^{\star} = I \oplus S \oplus S^{2^{\otimes}} \oplus \cdots \oplus S^{(n-1)^{\otimes}}. \end{array}$$

Além disso, esta suposição não significa perda de generalidade, já que os resultados para o caso geral poderão ser obtidos ao se lidar com a matriz  $(-\tau_S) \odot S$ .

Sumário

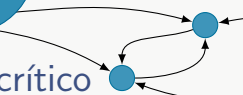
1 Operador de Kleene

2 Subautovetores

Subgrafo crítico e propriedade separante

Propriedades geométricas

3 Dicionário



## Subgrafo crítico

No contexto da álgebra *min-plus*, queremos

apresentar a noção de subgrafo crítico, conceito análogo ao de conjunto cíclico minimal.

Por questão de precisão, sejam  $G$  grafo orientado conexo e  $M$  matriz de transição associados a matriz irredutível  $S \in (\mathbb{R} \cup \{+\infty\})^{n \times n}$  (como definidos na [Aula 07](#)).

### Definição

Dizemos então que um ciclo  $Q : i_0 = i_k \xrightarrow{S} i_{k-1} \xrightarrow{S} \dots \xrightarrow{S} i_1 \xrightarrow{S} i_0$  é crítico para  $S$  se verifica

$$\frac{1}{k} \bigotimes_{i=0}^{k-1} S(i_i, i_{i+1}) = r_S.$$

## Subgrafo crítico

No contexto da álgebra *min-plus*, queremos

apresentar a noção de subgrafo crítico, conceito análogo ao de conjunto cíclico minimal.

Por questão de precisão, sejam  $G$  grafo orientado conexo e  $M$  matriz de transição associados a matriz irredutível  $S \in (\mathbb{R} \cup \{+\infty\})^{n \times n}$  (como definidos na **Aula 07**).

### Definição

Dizemos então que um ciclo  $Q : i_0 = i_k \xrightarrow{G} i_{k-1} \xrightarrow{G} \dots \xrightarrow{G} i_1 \xrightarrow{G} i_0$  é crítico para  $S$  se verifica

$$\frac{1}{k} \bigotimes_{\ell=0}^{k-1} S(i_\ell, i_{\ell+1}) = \tau_S.$$

Em particular, temos que um ciclo  $Q$  é crítico para  $S$  se, e somente se, é um ciclo que minimiza o custo associado  $c_S$ , isto é,  $c_S(Q) = m(c_S)$ .

## Subgrafo crítico

No contexto da álgebra *min-plus*, queremos

apresentar a noção de subgrafo crítico, conceito análogo ao de conjunto cíclico minimal.

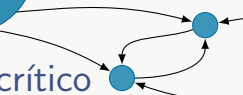
Por questão de precisão, sejam  $G$  grafo orientado conexo e  $M$  matriz de transição associados a matriz irredutível  $S \in (\mathbb{R} \cup \{+\infty\})^{n \times n}$  (como definidos na **Aula 07**).

### Definição

Dizemos então que um ciclo  $Q : i_0 = i_k \xrightarrow{G} i_{k-1} \xrightarrow{G} \dots \xrightarrow{G} i_1 \xrightarrow{G} i_0$  é crítico para  $S$  se verifica

$$\frac{1}{k} \bigotimes_{\ell=0}^{k-1} S(i_\ell, i_{\ell+1}) = \tau_S.$$

Em particular, temos que um ciclo  $Q$  é crítico para  $S$  se, e somente se, é um ciclo que minimiza o custo associado  $c_S$ , isto é,  $c_S(Q) = m(c_S)$ .



## Subgrafo crítico

No contexto da álgebra *min-plus*, queremos

apresentar a noção de subgrafo crítico, conceito análogo ao de conjunto cíclico minimal.

Por questão de precisão, sejam  $G$  grafo orientado conexo e  $M$  matriz de transição associados a matriz irredutível  $S \in (\mathbb{R} \cup \{+\infty\})^{n \times n}$  (como definidos na **Aula 07**).

### Definição

Dizemos então que um ciclo  $Q : i_0 = i_k \xrightarrow{G} i_{k-1} \xrightarrow{G} \dots \xrightarrow{G} i_1 \xrightarrow{G} i_0$  é crítico para  $S$  se verifica

$$\frac{1}{k} \bigotimes_{\ell=0}^{k-1} S(i_\ell, i_{\ell+1}) = \tau_S.$$

Em particular, temos que um ciclo  $Q$  é crítico para  $S$  se, e somente se, é um ciclo que minimiza o custo associado  $c_S$ , isto é,  $c_S(Q) = m(c_S)$ .

Perceba ainda que o conjunto cíclico minimal  $\mathcal{M}(c_S)$  é formado por todos os ciclos críticos de  $S$ .

## Definição

Definimos o subgrafo crítico associado a uma matriz irredutível  $S \in (\mathbb{R} \cup \{+\infty\})^{n \times n}$  como sendo o grafo  $G_{Cr} = (V_{Cr}, A_{Cr})$ , onde

- ①  $V_{Cr}$  é o subconjunto de  $V(G)$  formado dos vértices que pertencem a algum ciclo crítico de  $S$ ;
- ②  $A_{Cr}$  é o subconjunto de  $A(G)$  composto pelas arestas pertencentes a algum ciclo crítico de  $S$ .

Os vértices e arestas do subgrafo crítico  $G_{Cr}$  serão denominados, respectivamente, por vértices críticos e arestas críticas.

Um aspecto peculiar dos subautovetores pode ser agora descortinado.

Não importando o subautovetor  $\vec{u}$  tomado, sempre se verifica

$$(\tau_S \odot \vec{u})_i = (S \otimes \vec{u})_i, \quad \forall i \in V_{Cr}.$$

Perceba ainda que o conjunto cíclico minimal  $\mathcal{M}(c_S)$  é formado por todos os ciclos críticos de  $S$ .

## Definição

Definimos o subgrafo crítico associado a uma matriz irredutível  $S \in (\mathbb{R} \cup \{+\infty\})^{n \times n}$  como sendo o grafo  $G_{Cr} = (V_{Cr}, A_{Cr})$ , onde

- ①  $V_{Cr}$  é o subconjunto de  $V(G)$  formado dos vértices que pertencem a algum ciclo crítico de  $S$ ;
- ②  $A_{Cr}$  é o subconjunto de  $A(G)$  composto pelas arestas pertencentes a algum ciclo crítico de  $S$ .

Os vértices e arestas do subgrafo crítico  $G_{Cr}$  serão denominados, respectivamente, por vértices críticos e arestas críticas.

Um aspecto peculiar dos subautovetores pode ser agora descortinado.

Não importando o subautovetor  $\vec{u}$  tomado, sempre se verifica

$$(\tau_S \odot \vec{u})_i = (S \otimes \vec{u})_i, \quad \forall i \in V_{Cr}.$$

Perceba ainda que o conjunto cíclico minimal  $\mathcal{M}(c_S)$  é formado por todos os ciclos críticos de  $S$ .

## Definição

Definimos o subgrafo crítico associado a uma matriz irredutível  $S \in (\mathbb{R} \cup \{+\infty\})^{n \times n}$  como sendo o grafo  $G_{Cr} = (V_{Cr}, A_{Cr})$ , onde

- ①  $V_{Cr}$  é o subconjunto de  $V(G)$  formado dos vértices que pertencem a algum ciclo crítico de  $S$ ;
- ②  $A_{Cr}$  é o subconjunto de  $A(G)$  composto pelas arestas pertencentes a algum ciclo crítico de  $S$ .

Os vértices e arestas do subgrafo crítico  $G_{Cr}$  serão denominados, respectivamente, por vértices críticos e arestas críticas.

Um aspecto peculiar dos subautovetores pode ser agora descortinado.

Não importando o subautovetor  $\vec{u}$  tomado, sempre se verifica

$$(\tau_S \odot \vec{u})_i = (S \otimes \vec{u})_i, \quad \forall i \in V_{Cr}.$$

Perceba ainda que o conjunto cíclico minimal  $\mathcal{M}(c_S)$  é formado por todos os ciclos críticos de  $S$ .

## Definição

Definimos o subgrafo crítico associado a uma matriz irredutível  $S \in (\mathbb{R} \cup \{+\infty\})^{n \times n}$  como sendo o grafo  $G_{Cr} = (V_{Cr}, A_{Cr})$ , onde

- ①  $V_{Cr}$  é o subconjunto de  $V(G)$  formado dos vértices que pertencem a algum ciclo crítico de  $S$ ;
- ②  $A_{Cr}$  é o subconjunto de  $A(G)$  composto pelas arestas pertencentes a algum ciclo crítico de  $S$ .

Os vértices e arestas do subgrafo crítico  $G_{Cr}$  serão denominados, respectivamente, por vértices críticos e arestas críticas.

Um aspecto peculiar dos subautovetores pode ser agora descortinado.

Não importando o subautovetor  $\vec{u}$  tomado, sempre se verifica

$$(\tau_S \odot \vec{u})_i = (S \otimes \vec{u})_i, \quad \forall i \in V_{Cr}.$$

Para descrever completamente o subgrafo crítico é necessário

reconhecermos todas as arestas críticas, isto é, apresentando uma caracterização algébrica para os elementos em  $A_{Cr}$ .

### Proposição

Seja  $S \in (\mathbb{R} \cup \{+\infty\})^{n \times n}$  uma matriz irredutível definida. São equivalentes:

- ①  $(j, i) \in A_{Cr}$ ;
- ②  $S(i, j) \otimes S^*(j, j_0) = S^*(i, j_0)$ , para todo  $j_0 = 1, 2, \dots, n$ ;
- ③  $S^*(i_0, j) = S^*(i_0, i) \otimes S(i, j)$ , para todo  $i_0 = 1, 2, \dots, n$ .

Para descrever completamente o subgrafo crítico é necessário

reconhecermos todas as arestas críticas, isto é, apresentando uma caracterização algébrica para os elementos em  $A_{Cr}$ .

## Proposição

Seja  $S \in (\mathbb{R} \cup \{+\infty\})^{n \times n}$  uma matriz irredutível definida. São equivalentes:

- ①  $(j, i) \in A_{Cr}$ ;
- ②  $S(i, j) \otimes S^*(j, j_0) = S^*(i, j_0)$ , para todo  $j_0 = 1, 2, \dots, n$ ;
- ③  $S^*(i_0, j) = S^*(i_0, i) \otimes S(i, j)$ , para todo  $i_0 = 1, 2, \dots, n$ .

Para descrever completamente o subgrafo crítico é necessário

reconhecermos todas as arestas críticas, isto é, apresentando uma caracterização algébrica para os elementos em  $A_{Cr}$ .

## Proposição

Seja  $S \in (\mathbb{R} \cup \{+\infty\})^{n \times n}$  uma matriz irredutível definida. São equivalentes:

- ①  $(j, i) \in A_{Cr}$ ;
- ②  $S(i, j) \otimes S^*(j, j_0) = S^*(i, j_0)$ , para todo  $j_0 = 1, 2, \dots, n$ ;
- ③  $S^*(i_0, j) = S^*(i_0, i) \otimes S(i, j)$ , para todo  $i_0 = 1, 2, \dots, n$ .

Para descrever completamente o subgrafo crítico é necessário

reconhecermos todas as arestas críticas, isto é, apresentando uma caracterização algébrica para os elementos em  $A_{Cr}$ .

## Proposição

Seja  $S \in (\mathbb{R} \cup \{+\infty\})^{n \times n}$  uma matriz irredutível definida. São equivalentes:

- ①  $(j, i) \in A_{Cr}$ ;
- ②  $S(i, j) \otimes S^*(j, j_0) = S^*(i, j_0)$ , para todo  $j_0 = 1, 2, \dots, n$ ;
- ③  $S^*(i_0, j) = S^*(i_0, i) \otimes S(i, j)$ , para todo  $i_0 = 1, 2, \dots, n$ .

## Renormalização

Desejamos por ora

apresentar processo de renormalização em termos da álgebra *min-plus*.

Considere então as seguintes matrizes diagonais obtidas a partir de um subautovetor  $\vec{u} = (u_1, \dots, u_n)$  de uma matriz irredutível  $S$ :

$$D_{\vec{u}} := \begin{bmatrix} u_1 & \dots & +\infty \\ \vdots & \ddots & \vdots \\ +\infty & \dots & u_n \end{bmatrix}, \quad D_{\vec{u}}^{-1}{}^{\otimes} := \begin{bmatrix} -u_1 & \dots & +\infty \\ \vdots & \ddots & \vdots \\ +\infty & \dots & -u_n \end{bmatrix}.$$

Explicitando cada uma das entradas  $(i, j)$  de tal matriz, segundo a álgebra usual, obtemos que

$D_{\vec{u}}^{-1}{}^{\otimes}(i, j) = \min_{k \in V} \max_{l \in V} \{S_{kl} + u_k, S_{il} + u_i\}$

que é exatamente a equação (1).

## Renormalização

Desejamos por ora

apresentar processo de renormalização em termos da álgebra *min-plus*.

Considere então as seguintes matrizes diagonais obtidas a partir de um subautovetor  $\vec{u} = (u_1, \dots, u_n)$  de uma matriz irredutível  $S$ :

$$D_{\vec{u}} := \begin{bmatrix} u_1 & \dots & +\infty \\ \vdots & \ddots & \vdots \\ +\infty & \dots & u_n \end{bmatrix}, \quad D_{\vec{u}}^{-1}{}^{\otimes} := \begin{bmatrix} -u_1 & \dots & +\infty \\ \vdots & \ddots & \vdots \\ +\infty & \dots & -u_n \end{bmatrix}.$$

Denote  $\hat{S} := D_{\vec{u}}^{-1}{}^{\otimes} \otimes S \otimes D_{\vec{u}}$ .

$$\begin{aligned} \hat{S}(i,j) &= \min_{1 \leq i_0 \leq n} \min_{1 \leq h \leq n} \{ D_{\vec{u}}^{-1}{}^{\otimes}(i, i_0) + S(i_0, h) + D_{\vec{u}}(h, j) \} \\ &= S(i, j) + u(j) - u(i). \end{aligned}$$

## Renormalização

Desejamos por ora

apresentar processo de renormalização em termos da álgebra *min-plus*.

Considere então as seguintes matrizes diagonais obtidas a partir de um subautovetor  $\vec{u} = (u_1, \dots, u_n)$  de uma matriz irredutível  $S$ :

$$D_{\vec{u}} := \begin{bmatrix} u_1 & \dots & +\infty \\ \vdots & \ddots & \vdots \\ +\infty & \dots & u_n \end{bmatrix}, \quad D_{\vec{u}}^{-1}{}^{\otimes} := \begin{bmatrix} -u_1 & \dots & +\infty \\ \vdots & \ddots & \vdots \\ +\infty & \dots & -u_n \end{bmatrix}.$$

Denote  $\hat{S} := D_{\vec{u}}^{-1}{}^{\otimes} \otimes S \otimes D_{\vec{u}}$ . Explicitando cada uma das entradas  $(i, j)$  de tal matriz, segundo a álgebra usual, obtemos que

$$\begin{aligned} \hat{S}(i, j) &= \min_{1 \leq i_0 \leq n} \min_{1 \leq i_1 \leq n} \{D_{\vec{u}}^{-1}{}^{\otimes}(i, i_0) + S(i_0, i_1) + D_{\vec{u}}(i_1, j)\} \\ &= S(i, j) + u(j) - u(i). \end{aligned}$$

## Renormalização

Desejamos por ora

apresentar processo de renormalização em termos da álgebra *min-plus*.

Considere então as seguintes matrizes diagonais obtidas a partir de um subautovetor  $\vec{u} = (u_1, \dots, u_n)$  de uma matriz irredutível  $S$ :

$$D_{\vec{u}} := \begin{bmatrix} u_1 & \dots & +\infty \\ \vdots & \ddots & \vdots \\ +\infty & \dots & u_n \end{bmatrix}, \quad D_{\vec{u}}^{-1}{}^{\otimes} := \begin{bmatrix} -u_1 & \dots & +\infty \\ \vdots & \ddots & \vdots \\ +\infty & \dots & -u_n \end{bmatrix}.$$

Denote  $\hat{S} := D_{\vec{u}}^{-1}{}^{\otimes} \otimes S \otimes D_{\vec{u}}$ . Explicitando cada uma das entradas  $(i, j)$  de tal matriz, segundo a álgebra usual, obtemos que

$$\begin{aligned} \hat{S}(i, j) &= \min_{1 \leq i_0 \leq n} \min_{1 \leq i_1 \leq n} \{ D_{\vec{u}}^{-1}{}^{\otimes}(i, i_0) + S(i_0, i_1) + D_{\vec{u}}(i_1, j) \} \\ &= S(i, j) + u(j) - u(i). \end{aligned}$$

Por sua vez, como  $\vec{u}$  é subautovetor de  $S$ , ou melhor, como  $\vec{u}$  é corretor associado a  $c_S$ , garantimos que

$$\begin{aligned}\hat{S}(i,j) &\geq \tau_S, \quad \text{para toda aresta } (j,i) \in A(G) \quad \text{e} \\ \hat{S}(i,j) &= \tau_S, \quad \text{para toda aresta crítica } (j,i) \in A_{\text{cr}}.\end{aligned}$$

Fica agora patente conexão com o processo de renormalização do custo e, por esta razão, denominaremos  $\hat{S}$  de renormalização da matriz  $S$ .

Além disso,

Note ainda que o custo  $c_{\hat{S}}$  associado a uma renormalização de  $S$  é dado, para cada aresta  $(i,j)$ , por

$$c_{\hat{S}}(i,j) = \hat{S}(j,i) = S(j,i) + u(i) - u(j) = c_S(i,j) + u(i) - u(j),$$

o qual coincide com o custo renormalizado  $\hat{c}_S$  com relação ao corretor  $u$  (naturalmente associado ao subautovetor  $\vec{u}$ ).

Por sua vez, como  $\vec{u}$  é subautovetor de  $S$ , ou melhor, como  $\vec{u}$  é corretor associado a  $c_S$ , garantimos que

$$\begin{aligned}\hat{S}(i,j) &\geq \tau_S, \quad \text{para toda aresta } (j,i) \in A(G) \quad \text{e} \\ \hat{S}(i,j) &= \tau_S, \quad \text{para toda aresta crítica } (j,i) \in A_{\text{cr}}.\end{aligned}$$

Fica agora patente conexão com o processo de renormalização do custo e, por esta razão, denominaremos  $\hat{S}$  de renormalização da matriz  $S$ .

Exemplo:

Note ainda que o custo  $c_{\hat{S}}$  associado a uma renormalização de  $S$  é dado, para cada aresta  $(i,j)$ , por

$$c_{\hat{S}}(i,j) = \hat{S}(j,i) = S(j,i) + u(i) - u(j) = c_S(i,j) + u(i) - u(j),$$

o qual coincide com o custo renormalizado  $\hat{c}_S$  com relação ao corretor  $u$  (naturalmente associado ao subautovetor  $\vec{u}$ ).

Por sua vez, como  $\vec{u}$  é subautovetor de  $S$ , ou melhor, como  $\vec{u}$  é corretor associado a  $c_S$ , garantimos que

$$\begin{aligned}\hat{S}(i,j) &\geq \tau_S, \quad \text{para toda aresta } (j,i) \in A(G) \quad \text{e} \\ \hat{S}(i,j) &= \tau_S, \quad \text{para toda aresta crítica } (j,i) \in A_{\text{Cr}}.\end{aligned}$$

Fica agora patente conexão com o processo de renormalização do custo e, por esta razão, denominaremos  $\hat{S}$  de renormalização da matriz  $S$ .

### Observação

Note ainda que o custo  $c_{\hat{S}}$  associado a uma renormalização de  $S$  é dado, para cada aresta  $(i,j)$ , por

$$c_{\hat{S}}(i,j) = \hat{S}(j,i) = S(j,i) + u(i) - u(j) = c_S(i,j) + u(i) - u(j),$$

o qual coincide com o custo renormalizado  $\hat{c}_S$  com relação ao corretor  $u$  (naturalmente associado ao subautovetor  $\vec{u}$ ).

Por sua vez, como  $\vec{u}$  é subautovetor de  $S$ , ou melhor, como  $\vec{u}$  é corretor associado a  $c_S$ , garantimos que

$$\begin{aligned}\hat{S}(i,j) &\geq \tau_S, \quad \text{para toda aresta } (j,i) \in A(G) \quad \text{e} \\ \hat{S}(i,j) &= \tau_S, \quad \text{para toda aresta crítica } (j,i) \in A_{\text{Cr}}.\end{aligned}$$

Fica agora patente conexão com o processo de renormalização do custo e, por esta razão, denominaremos  $\hat{S}$  de renormalização da matriz  $S$ .

### Observação

Note ainda que o custo  $c_{\hat{S}}$  associado a uma renormalização de  $S$  é dado, para cada aresta  $(i,j)$ , por

$$c_{\hat{S}}(i,j) = \hat{S}(j,i) = S(j,i) + u(i) - u(j) = c_S(i,j) + u(i) - u(j),$$

o qual coincide com o custo renormalizado  $\hat{c}_S$  com relação ao corretor  $u$  (naturalmente associado ao subautovetor  $\vec{u}$ ).

## Propriedade de visualização

Introntroduzimos a seguir uma classe de subautovetores que destacam o subgrafo crítico por meio desta renormalização sobre matrizes da álgebra matricial *min-plus*.

### Definição

Uma matriz irredutível  $S \in (\mathbb{R} \cup \{+\infty\})^{n \times n}$  verifica a propriedade de visualização estrita se suas entradas satisfazem:

- ①  $S(i,j) = \tau_S$  para todo  $(i,j) \in A_{Cr}$ ;
- ②  $S(i,j) > \tau_S$  para todo  $(i,j) \notin A_{Cr}$ .

Além disso, um subautovetor  $\vec{u}$  é dito separante com relação a uma matriz  $S$  se a matriz  $D_{\vec{u}}^{-1} \otimes S \otimes D_{\vec{u}}$  possui visualização estrita.

Obviamente,

a propriedade de visualização, adicionada ao processo de renormalização de uma matriz por um subautovetor, introduz a noção análoga a de corretor separante da optimização de médias.

## Propriedade de visualização

Introntroduzimos a seguir uma classe de subautovetores que destacam o subgrafo crítico por meio desta renormalização sobre matrizes da álgebra matricial *min-plus*.

### Definição

Uma matriz irredutível  $S \in (\mathbb{R} \cup \{+\infty\})^{n \times n}$  verifica a propriedade de visualização estrita se suas entradas satisfazem:

- ①  $S(i,j) = \tau_S$  para todo  $(i,j) \in A_{Cr}$ ;
- ②  $S(i,j) > \tau_S$  para todo  $(i,j) \notin A_{Cr}$ .

Além disso, um subautovetor  $\vec{u}$  é dito separante com relação a uma matriz  $S$  se a matriz  $D_{\vec{u}}^{-1} \otimes S \otimes D_{\vec{u}}$  possui visualização estrita.

Obviamente,

a propriedade de visualização, adicionada ao processo de renormalização de uma matriz por um subautovetor, introduz a noção análoga a de corretor separante da optimização de médias.

## Propriedade de visualização

Introntroduzimos a seguir uma classe de subautovetores que destacam o subgrafo crítico por meio desta renormalização sobre matrizes da álgebra matricial *min-plus*.

### Definição

Uma matriz irredutível  $S \in (\mathbb{R} \cup \{+\infty\})^{n \times n}$  verifica a propriedade de visualização estrita se suas entradas satisfazem:

- ①  $S(i,j) = \tau_S$  para todo  $(i,j) \in A_{Cr}$ ;
- ②  $S(i,j) > \tau_S$  para todo  $(i,j) \notin A_{Cr}$ .

Além disso, um subautovetor  $\vec{u}$  é dito separante com relação a uma matriz  $S$  se a matriz  $D_{\vec{u}}^{-1} \otimes S \otimes D_{\vec{u}}$  possui visualização estrita.

Obviamente,

a propriedade de visualização, adicionada ao processo de renormalização de uma matriz por um subautovetor, introduz a noção análoga a de corretor separante da optimização de médias.

## Propriedade de visualização

Introntroduzimos a seguir uma classe de subautovetores que destacam o subgrafo crítico por meio desta renormalização sobre matrizes da álgebra matricial *min-plus*.

### Definição

Uma matriz irredutível  $S \in (\mathbb{R} \cup \{+\infty\})^{n \times n}$  verifica a propriedade de visualização estrita se suas entradas satisfazem:

- ①  $S(i,j) = \tau_S$  para todo  $(i,j) \in A_{Cr}$ ;
- ②  $S(i,j) > \tau_S$  para todo  $(i,j) \notin A_{Cr}$ .

Além disso, um subautovetor  $\vec{u}$  é dito separante com relação a uma matriz  $S$  se a matriz  $D_{\vec{u}}^{-1} \otimes S \otimes D_{\vec{u}}$  possui visualização estrita.

Obviamente,

a propriedade de visualização, adicionada ao processo de renormalização de uma matriz por um subautovetor, introduz a noção análoga a de corretor separante da optimização de médias.

A existência de subautovetor separante (e, portanto, de corretor separante) pode ser estabelecida com o auxílio do operador de Kleene.

## Proposição

Sejam  $S \in (\mathbb{R} \cup \{+\infty\})^{n \times n}$  uma matriz irredutível definida e  $\vec{u} \in (\mathbb{R} \cup \{+\infty\})^n$  um vetor da forma

$$\begin{aligned}\vec{u} &= \left( \bigotimes_{r=1}^n a_r S^*(1, r), \dots, \bigotimes_{r=1}^n a_r S^*(n, r) \right)^\top \\ &= \sum_{r=1}^n a_r (S^*(1, r), \dots, S^*(n, r))^\top,\end{aligned}$$

onde  $a_r > 0$  para todo  $1 \leq r \leq n$  e  $\sum_{r=1}^n a_r = 1$ . (Mais especificamente,  $\vec{u}$  é combinação convexa, segundo a álgebra usual, das colunas do operador de Kleene  $S^*$ .) Então, a matriz  $D_{\vec{u}}^{-1} \otimes S \otimes D_{\vec{u}}$  possui a propriedade de visualização estrita e, consequentemente,  $\vec{u}$  é subautovetor separante.

A existência de subautovetor separante (e, portanto, de corretor separante) pode ser estabelecida com o auxílio do operador de Kleene.

## Proposição

Sejam  $S \in (\mathbb{R} \cup \{+\infty\})^{n \times n}$  uma matriz irredutível definida e  $\vec{u} \in (\mathbb{R} \cup \{+\infty\})^n$  um vetor da forma

$$\begin{aligned}\vec{u} &= \left( \bigotimes_{r=1}^n a_r S^\star(1, r), \dots, \bigotimes_{r=1}^n a_r S^\star(n, r) \right)^\top \\ &= \sum_{r=1}^n a_r (S^\star(1, r), \dots, S^\star(n, r))^\top,\end{aligned}$$

onde  $a_r > 0$  para todo  $1 \leq r \leq n$  e  $\sum_{r=1}^n a_r = 1$ . (Mais especificamente,  $\vec{u}$  é combinação convexa, segundo a álgebra usual, das colunas do operador de Kleene  $S^\star$ .) Então, a matriz  $D_{\vec{u}}^{-1} \otimes S \otimes D_{\vec{u}}$  possui a propriedade de visualização estrita e, consequentemente,  $\vec{u}$  é subautovetor separante.

A existência de subautovetor separante (e, portanto, de corretor separante) pode ser estabelecida com o auxílio do operador de Kleene.

## Proposição

Sejam  $S \in (\mathbb{R} \cup \{+\infty\})^{n \times n}$  uma matriz irredutível definida e  $\vec{u} \in (\mathbb{R} \cup \{+\infty\})^n$  um vetor da forma

$$\begin{aligned}\vec{u} &= \left( \bigotimes_{r=1}^n a_r S^\star(1, r), \dots, \bigotimes_{r=1}^n a_r S^\star(n, r) \right)^\top \\ &= \sum_{r=1}^n a_r (S^\star(1, r), \dots, S^\star(n, r))^\top,\end{aligned}$$

onde  $a_r > 0$  para todo  $1 \leq r \leq n$  e  $\sum_{r=1}^n a_r = 1$ . (Mais especificamente,  $\vec{u}$  é combinação convexa, segundo a álgebra usual, das colunas do operador de Kleene  $S^\star$ .) Então, a matriz  $D_{\vec{u}}^{-1} \otimes S \otimes D_{\vec{u}}$  possui a propriedade de visualização estrita e, consequentemente,  $\vec{u}$  é subautovetor separante.

Sumário

1 Operador de Kleene

2 Subautovetores

Subgrafo crítico e propriedade separante

Propriedades geométricas

3 Dicionário

## Propriedades geométricas

Para finalizar, apresentaremos um tratamento geométrico, o qual tem o intuito de

estabelecer relações entre autovetores e subautovetores das matrizes  $S$  e  $S^*$ .

Introduzimos primeiramente o conceito análogo ao de subespaço vetorial.

### Definition

Um subconjunto  $\mathcal{V}$  de  $(\mathbb{R} \cup \{+\infty\})^n$  é denominado de cone quando é fechado para as operações  $\odot$  e  $\oplus$ . Mais especificamente, para

$\vec{v}_1, \dots, \vec{v}_k \in \mathcal{V}$  e  $a_1, \dots, a_k \in \mathbb{R} \cup \{+\infty\}$ , a combinação linear *min-plus*

$$\bigoplus_{l=1}^k a_l \odot \vec{v}_l \in \mathcal{V}.$$

## Propriedades geométricas

Para finalizar, apresentaremos um tratamento geométrico, o qual tem o intuito de

estabelecer relações entre autovetores e subautovetores das matrizes  $S$  e  $S^*$ .

Introduzimos primeiramente o conceito análogo ao de subespaço vetorial.

### Definition

Um subconjunto  $\mathcal{V}$  de  $(\mathbb{R} \cup \{+\infty\})^n$  é denominado de cone quando é fechado para as operações  $\odot$  e  $\oplus$ . Mais especificamente, para  $\vec{v}_1, \dots, \vec{v}_k \in \mathcal{V}$  e  $a_1, \dots, a_k \in \mathbb{R} \cup \{+\infty\}$ , a combinação linear *min-plus*

$$\bigoplus_{\ell=1}^k a_\ell \odot \vec{v}_\ell \in \mathcal{V}.$$

## Propriedades geométricas

Para finalizar, apresentaremos um tratamento geométrico, o qual tem o intuito de

estabelecer relações entre autovetores e subautovetores das matrizes  $S$  e  $S^*$ .

Introduzimos primeiramente o conceito análogo ao de subespaço vetorial.

### Definition

Um subconjunto  $\mathcal{V}$  de  $(\mathbb{R} \cup \{+\infty\})^n$  é denominado de cone quando é fechado para as operações  $\odot$  e  $\oplus$ . Mais especificamente, para  $\vec{v}_1, \dots, \vec{v}_k \in \mathcal{V}$  e  $a_1, \dots, a_k \in \mathbb{R} \cup \{+\infty\}$ , a combinação linear *min-plus*

$$\bigoplus_{\ell=1}^k a_\ell \odot \vec{v}_\ell \in \mathcal{V}.$$

## Observação

As características geométricas serão consequências naturais do fato das combinações lineares *min-plus* poderem ser reescritas como sistemas de desigualdades em  $(\mathbb{R} \cup \{+\infty\})^n$ .

Estudaremos exclusivamente os seguintes conjuntos.

## Definition

Seja  $S$  uma matriz irredutível com autovalor  $\tau_S$ .

- ① Denotaremos por  $\mathcal{V}^*(S)$  conjunto de todos os subautovetores de  $S$  para o autovalor  $\tau_S$ .
- ② O conjunto formado por todos os autovetores da matriz  $S$  será denotado por  $\mathcal{V}(S)$ .

tais conjuntos são cones no espaço  $n$ -dimensional *min-plus*.

Em particular, é imediato que  $\mathcal{V}(S)$  é um subcone do cone  $\mathcal{V}^*(S)$ .

## Observação

As características geométricas serão consequências naturais do fato das combinações lineares *min-plus* poderem ser reescritas como sistemas de desigualdades em  $(\mathbb{R} \cup \{+\infty\})^n$ .

Estudaremos exclusivamente os seguintes conjuntos.

## Definition

Seja  $S$  uma matriz irredutível com autovalor  $\tau_S$ .

- ① Denotaremos por  $\mathcal{V}^*(S)$  conjunto de todos os subautovetores de  $S$  para o autovalor  $\tau_S$ .
- ② O conjunto formado por todos os autovetores da matriz  $S$  será denotado por  $\mathcal{V}(S)$ .

Antes de mais nada, afirmamos que

tais conjuntos são cones no espaço  $n$ -dimensional *min-plus*.

## Observação

As características geométricas serão consequências naturais do fato das combinações lineares *min-plus* poderem ser reescritas como sistemas de desigualdades em  $(\mathbb{R} \cup \{+\infty\})^n$ .

Estudaremos exclusivamente os seguintes conjuntos.

## Definition

Seja  $S$  uma matriz irredutível com autovalor  $\tau_S$ .

- ① Denotaremos por  $\mathcal{V}^*(S)$  conjunto de todos os subautovetores de  $S$  para o autovalor  $\tau_S$ .
- ② O conjunto formado por todos os autovetores da matriz  $S$  será denotado por  $\mathcal{V}(S)$ .

Antes de mais nada, afirmamos que

tais conjuntos são cones no espaço  $n$ -dimensional *min-plus*.

## Observação

As características geométricas serão consequências naturais do fato das combinações lineares *min-plus* poderem ser reescritas como sistemas de desigualdades em  $(\mathbb{R} \cup \{+\infty\})^n$ .

Estudaremos exclusivamente os seguintes conjuntos.

## Definition

Seja  $S$  uma matriz irredutível com autovalor  $\tau_S$ .

- ① Denotaremos por  $\mathcal{V}^*(S)$  conjunto de todos os subautovetores de  $S$  para o autovalor  $\tau_S$ .
- ② O conjunto formado por todos os autovetores da matriz  $S$  será denotado por  $\mathcal{V}(S)$ .

Antes de mais nada, afirmamos que

tais conjuntos são cones no espaço  $n$ -dimensional *min-plus*.

Em particular, é imediato que  $\mathcal{V}(S)$  é um subcone do cone  $\mathcal{V}^*(S)$ .

## Observação

As características geométricas serão consequências naturais do fato das combinações lineares *min-plus* poderem ser reescritas como sistemas de desigualdades em  $(\mathbb{R} \cup \{+\infty\})^n$ .

Estudaremos exclusivamente os seguintes conjuntos.

## Definition

Seja  $S$  uma matriz irredutível com autovalor  $\tau_S$ .

- ① Denotaremos por  $\mathcal{V}^*(S)$  conjunto de todos os subautovetores de  $S$  para o autovalor  $\tau_S$ .
- ② O conjunto formado por todos os autovetores da matriz  $S$  será denotado por  $\mathcal{V}(S)$ .

Antes de mais nada, afirmamos que

tais conjuntos são cones no espaço  $n$ -dimensional *min-plus*.

Em particular, é imediato que  $\mathcal{V}(S)$  é um subcone do cone  $\mathcal{V}^*(S)$ .

## Exemplo

Queremos determinar subautovetores para matriz irredutível

$$S = \begin{bmatrix} +\infty & 4 \\ 0 & 6 \end{bmatrix},$$

com constante cíclica minimal  $\tau_S = 2$ , ou seja,

$$\vec{u} = (u_1, u_2) \in (\mathbb{R} \cup \{+\infty\})^n \quad \text{tal que} \quad \tau_S \odot \vec{u} \preceq S \otimes \vec{u},$$

Considere o seguinte sistema de desigualdades

$$\begin{cases} \min\{+\infty + u_1, 4 + u_2\} \geq 2 + u_1 \\ \min\{u_1, 6 + u_2\} \geq 2 + u_2 \end{cases}$$

que deve ser resolvida para obter os valores de  $u_1$  e  $u_2$  que satisfaçam ao sistema.

Resolvendo o sistema, obtemos  $u_1 = u_2 = 2$ .

## Exemplo

Queremos determinar subautovetores para matriz irredutível

$$S = \begin{bmatrix} +\infty & 4 \\ 0 & 6 \end{bmatrix},$$

com constante cíclica minimal  $\tau_S = 2$ , ou seja,

$$\vec{u} = (u_1, u_2) \in (\mathbb{R} \cup \{+\infty\})^n \quad \text{tal que} \quad \tau_S \odot \vec{u} \preceq S \otimes \vec{u},$$

Considere o seguinte sistema de desigualdades

$$\begin{cases} \min\{+\infty + u_1, 4 + u_2\} \geq 2 + u_1 \\ \min\{u_1, 6 + u_2\} \geq 2 + u_2 \end{cases} \Leftrightarrow \begin{cases} u_2 + 2 \geq u_1 \\ u_1 \geq 2 + u_2 \end{cases}$$

o qual, por sua vez, determina a seguinte região no plano estendido

$$\mathcal{V}^*(S) = \{\vec{u} = (u_1, u_2) \in (\mathbb{R} \cup \{+\infty\})^2 : u_1 = u_2 + 2\}.$$

## Exemplo

Queremos determinar subautovetores para matriz irredutível

$$S = \begin{bmatrix} +\infty & 4 \\ 0 & 6 \end{bmatrix},$$

com constante cíclica minimal  $\tau_S = 2$ , ou seja,

$$\vec{u} = (u_1, u_2) \in (\mathbb{R} \cup \{+\infty\})^2 \quad \text{tal que} \quad \tau_S \odot \vec{u} \preceq S \otimes \vec{u},$$

Considere o seguinte sistema de desigualdades

$$\begin{cases} \min\{+\infty + u_1, 4 + u_2\} \geq 2 + u_1 \\ \min\{u_1, 6 + u_2\} \geq 2 + u_2 \end{cases} \Leftrightarrow \begin{cases} u_2 + 2 \geq u_1 \\ u_1 \geq 2 + u_2 \end{cases},$$

o qual, por sua vez, determina a seguinte região no plano estendido

$$\mathcal{V}^*(S) = \{\vec{u} = (u_1, u_2) \in (\mathbb{R} \cup \{+\infty\})^2 : u_1 = u_2 + 2\}.$$

## Exemplo

Queremos determinar subautovetores para matriz irredutível

$$S = \begin{bmatrix} +\infty & 4 \\ 0 & 6 \end{bmatrix},$$

com constante cíclica minimal  $\tau_S = 2$ , ou seja,

$$\vec{u} = (u_1, u_2) \in (\mathbb{R} \cup \{+\infty\})^n \quad \text{tal que} \quad \tau_S \odot \vec{u} \preceq S \otimes \vec{u},$$

Considere o seguinte sistema de desigualdades

$$\begin{cases} \min\{+\infty + u_1, 4 + u_2\} \geq 2 + u_1 \\ \min\{u_1, 6 + u_2\} \geq 2 + u_2 \end{cases} \Leftrightarrow \begin{cases} u_2 + 2 \geq u_1 \\ u_1 \geq 2 + u_2 \end{cases},$$

o qual, por sua vez, determina a seguinte região no plano estendido

$$\mathcal{V}^*(S) = \{\vec{u} = (u_1, u_2) \in (\mathbb{R} \cup \{+\infty\})^2 : u_1 = u_2 + 2\}.$$

## Exemplo

Queremos determinar subautovetores para matriz irredutível

$$S = \begin{bmatrix} +\infty & 4 \\ 0 & 6 \end{bmatrix},$$

com constante cíclica minimal  $\tau_S = 2$ , ou seja,

$$\vec{u} = (u_1, u_2) \in (\mathbb{R} \cup \{+\infty\})^2 \quad \text{tal que} \quad \tau_S \odot \vec{u} \preceq S \otimes \vec{u},$$

Considere o seguinte sistema de desigualdades

$$\begin{cases} \min\{+\infty + u_1, 4 + u_2\} \geq 2 + u_1 \\ \min\{u_1, 6 + u_2\} \geq 2 + u_2 \end{cases} \Leftrightarrow \begin{cases} u_2 + 2 \geq u_1 \\ u_1 \geq 2 + u_2 \end{cases},$$

o qual, por sua vez, determina a seguinte região no plano estendido

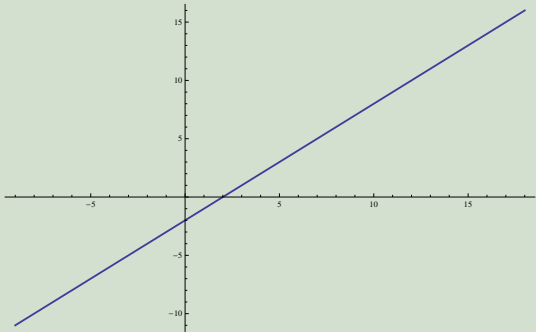
$$\mathcal{V}^\star(S) = \{\vec{u} = (u_1, u_2) \in (\mathbb{R} \cup \{+\infty\})^2 : u_1 = u_2 + 2\}.$$

## Exemplo

Em particular,

$$\mathcal{V}^*(S) = \left\{ \vec{u} = (u_1, u_2) \in (\mathbb{R} \cup \{+\infty\})^2 : u_1 = u_2 + 2 \right\},$$

possui representação gráfica é descrita pela figura abaixo.



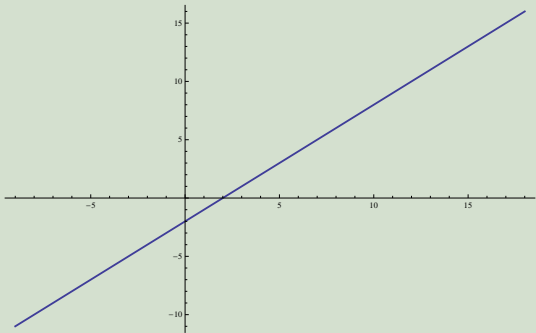
Não é difícil perceber que este operador satisfaz  $\mathcal{V}(S) = \mathcal{V}^*(S)$ .

## Exemplo

Em particular,

$$\mathcal{V}^*(S) = \left\{ \vec{u} = (u_1, u_2) \in (\mathbb{R} \cup \{+\infty\})^2 : u_1 = u_2 + 2 \right\},$$

possui representação gráfica é descrita pela figura abaixo.



Não é difícil perceber que este operador satisfaz  $\mathcal{V}(S) = \mathcal{V}^*(S)$ .

## Exemplo

Seja a matriz irredutível

$$S = \begin{bmatrix} +\infty & 4 & 6 \\ -6 & 5 & +\infty \\ 0 & +\infty & 2 \end{bmatrix}.$$

Note que  $\tau_S = -1$ . Os elementos  $\vec{u} = (u_1, u_2, u_3)$  do conjunto  $\mathcal{V}^*(S)$  obedecem o sistema de desigualdades abaixo apresentado

$$\begin{cases} \min\{4 + u_2, 6 + u_3\} \geq -1 + u_1 \\ \min\{-6 + u_1, 5 + u_2\} \geq -1 + u_2 \\ \min\{u_1, 2 + u_3\} \geq -1 + u_3 \end{cases} \Leftrightarrow \begin{cases} 4 + u_2 \geq -1 + u_1 \\ 6 + u_3 \geq -1 + u_1 \\ -6 + u_1 \geq -1 + u_2 \\ u_1 \geq -1 + u_3 \end{cases}$$

Reduzindo tal sistema, encontramos a seguinte região em  $(\mathbb{R} \cup \{\infty\})^3$

$$\mathcal{V}^*(S) = \left\{ \vec{u} = (u_1, u_2, u_3) \in (\mathbb{R} \cup \{+\infty\})^3 : \begin{array}{l} u_1 = u_2 + 5 \text{ e} \\ -1 \leq u_1 - u_3 \leq 7 \end{array} \right\}.$$

## Exemplo

Seja a matriz irredutível

$$S = \begin{bmatrix} +\infty & 4 & 6 \\ -6 & 5 & +\infty \\ 0 & +\infty & 2 \end{bmatrix}.$$

Note que  $\tau_S = -1$ . Os elementos  $\vec{u} = (u_1, u_2, u_3)$  do conjunto  $\mathcal{V}^*(S)$  obedecem o sistema de desigualdades abaixo apresentado

$$\begin{cases} \min\{4 + u_2, 6 + u_3\} \geq -1 + u_1 \\ \min\{-6 + u_1, 5 + u_2\} \geq -1 + u_2 \\ \min\{u_1, 2 + u_3\} \geq -1 + u_3 \end{cases} \Leftrightarrow \begin{cases} 4 + u_2 \geq -1 + u_1 \\ 6 + u_3 \geq -1 + u_1 \\ -6 + u_1 \geq -1 + u_2 \\ u_1 \geq -1 + u_3 \end{cases}.$$

Reduzindo tal sistema, encontramos a seguinte região em  $(\mathbb{R} \cup \{\infty\})^3$

$$\mathcal{V}^*(S) = \left\{ \vec{u} = (u_1, u_2, u_3) \in (\mathbb{R} \cup \{+\infty\})^3 : \begin{array}{l} u_1 = u_2 + 5 \quad \text{e} \\ -1 \leq u_1 - u_3 \leq 7 \end{array} \right\}.$$

## Exemplo

Seja a matriz irredutível

$$S = \begin{bmatrix} +\infty & 4 & 6 \\ -6 & 5 & +\infty \\ 0 & +\infty & 2 \end{bmatrix}.$$

Note que  $\tau_S = -1$ . Os elementos  $\vec{u} = (u_1, u_2, u_3)$  do conjunto  $\mathcal{V}^*(S)$  obedecem o sistema de desigualdades abaixo apresentado

$$\begin{cases} \min\{4 + u_2, 6 + u_3\} \geq -1 + u_1 \\ \min\{-6 + u_1, 5 + u_2\} \geq -1 + u_2 \\ \min\{u_1, 2 + u_3\} \geq -1 + u_3 \end{cases} \Leftrightarrow \begin{cases} 4 + u_2 \geq -1 + u_1 \\ 6 + u_3 \geq -1 + u_1 \\ -6 + u_1 \geq -1 + u_2 \\ u_1 \geq -1 + u_3 \end{cases}.$$

Reduzindo tal sistema, encontramos a seguinte região em  $(\mathbb{R} \cup \{\infty\})^3$

$$\mathcal{V}^*(S) = \left\{ \vec{u} = (u_1, u_2, u_3) \in (\mathbb{R} \cup \{+\infty\})^3 : \begin{array}{l} u_1 = u_2 + 5 \quad \text{e} \\ -1 \leq u_1 - u_3 \leq 7 \end{array} \right\}.$$

## Exemplo

Seja a matriz irredutível

$$S = \begin{bmatrix} +\infty & 4 & 6 \\ -6 & 5 & +\infty \\ 0 & +\infty & 2 \end{bmatrix}.$$

Note que  $\tau_S = -1$ . Os elementos  $\vec{u} = (u_1, u_2, u_3)$  do conjunto  $\mathcal{V}^*(S)$  obedecem o sistema de desigualdades abaixo apresentado

$$\begin{cases} \min\{4 + u_2, 6 + u_3\} \geq -1 + u_1 \\ \min\{-6 + u_1, 5 + u_2\} \geq -1 + u_2 \\ \min\{u_1, 2 + u_3\} \geq -1 + u_3 \end{cases} \Leftrightarrow \begin{cases} 4 + u_2 \geq -1 + u_1 \\ 6 + u_3 \geq -1 + u_1 \\ -6 + u_1 \geq -1 + u_2 \\ u_1 \geq -1 + u_3 \end{cases}.$$

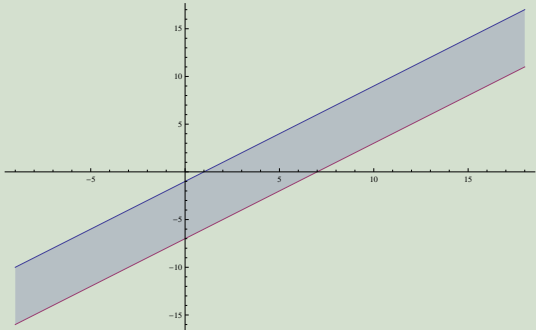
Reduzindo tal sistema, encontramos a seguinte região em  $(\mathbb{R} \cup \{\infty\})^3$

$$\mathcal{V}^*(S) = \left\{ \vec{u} = (u_1, u_2, u_3) \in (\mathbb{R} \cup \{+\infty\})^3 : \begin{array}{l} u_1 = u_2 + 5 \text{ e} \\ -1 \leq u_1 - u_3 \leq 7 \end{array} \right\}.$$

## Exemplo

A seguir exibimos uma representação gráfica para

$$\mathcal{V}^{\star}(S) = \left\{ \vec{u} = (u_1, u_2, u_3) \in (\mathbb{R} \cup \{+\infty\})^3 : \begin{array}{l} u_1 = u_2 + 5 \quad \text{e} \\ -1 \leq u_1 - u_3 \leq 7 \end{array} \right\}$$



sobre o plano  $\{\vec{u} = (u_1, u_2, u_3) \in \mathbb{R}^3 : u_1 = u_2 + 5\}$ .

## Observação

O subgrafo crítico fornece relevante informação de caráter geométrico.  
Relembre que, para uma aresta crítica  $(j, i)$ ,

*todo subautovetor  $\vec{u} = (u_1, \dots, u_n) \in (\mathbb{R} \cup \{+\infty\})^n$*

*verifica a igualdade  $(-u_i) \otimes S(i, j) \otimes u_j = \tau_S$ .*

Isto significa que, para  $(j, i) \in A_{Cr}$ ,

*o cone  $\mathcal{V}^*(S)$  está contido no hiperplano  $u_i = u_j + S(i, j) - \tau_S$ .*

## Observação

O subgrafo crítico fornece relevante informação de caráter geométrico.  
Relembre que, para uma aresta crítica  $(j, i)$ ,

*todo subautovetor  $\vec{u} = (u_1, \dots, u_n) \in (\mathbb{R} \cup \{+\infty\})^n$*

*verifica a igualdade  $(-u_i) \otimes S(i, j) \otimes u_j = \tau_S$ .*

Isto significa que, para  $(j, i) \in A_{\text{Cr}}$ ,

*o cone  $\mathcal{V}^*(S)$  está contido no hiperplano  $u_i = u_j + S(i, j) - \tau_S$ .*

Consequentemente, vale a inclusão

$$\mathcal{V}^*(S) \subset \bigcap_{(j, i) \in A_{\text{Cr}}} \{ \vec{u} \in (\mathbb{R} \cup \{+\infty\})^n : u_i = u_j + S(i, j) - \tau_S \}.$$

## Observação

O subgrafo crítico fornece relevante informação de caráter geométrico. Relembre que, para uma aresta crítica  $(j, i)$ ,

$$\begin{aligned} \text{todo subautovetor } \vec{u} = (u_1, \dots, u_n) \in (\mathbb{R} \cup \{+\infty\})^n \\ \text{verifica a igualdade } (-u_i) \otimes S(i, j) \otimes u_j = \tau_S. \end{aligned}$$

Isto significa que, para  $(j, i) \in A_{Cr}$ ,

*o cone  $\mathcal{V}^*(S)$  está contido no hiperplano  $u_i = u_j + S(i, j) - \tau_S$ .*

Consequentemente, vale a inclusão

$$\mathcal{V}^*(S) \subset \bigcap_{(j,i) \in A_{Cr}} \{ \vec{u} \in (\mathbb{R} \cup \{+\infty\})^n : u_i = u_j + S(i, j) - \tau_S \}.$$

Em particular, quando houver ciclo crítico passando por todos os vértices do grafo, resulta que  $\mathcal{V}^*(S)$  é uma reta.

## Observação

O subgrafo crítico fornece relevante informação de caráter geométrico. Relembre que, para uma aresta crítica  $(j, i)$ ,

$$\begin{aligned} \text{todo subautovetor } \vec{u} = (u_1, \dots, u_n) \in (\mathbb{R} \cup \{+\infty\})^n \\ \text{verifica a igualdade } (-u_i) \otimes S(i, j) \otimes u_j = \tau_S. \end{aligned}$$

Isto significa que, para  $(j, i) \in A_{Cr}$ ,

*o cone  $\mathcal{V}^\star(S)$  está contido no hiperplano  $u_i = u_j + S(i, j) - \tau_S$ .*

Consequentemente, vale a inclusão

$$\mathcal{V}^\star(S) \subset \bigcap_{(j,i) \in A_{Cr}} \{ \vec{u} \in (\mathbb{R} \cup \{+\infty\})^n : u_i = u_j + S(i, j) - \tau_S \}.$$

Em particular, quando houver ciclo crítico passando por todos os vértices do grafo, resulta que  $\mathcal{V}^\star(S)$  é uma reta.

## Observação

O subgrafo crítico fornece relevante informação de caráter geométrico. Relembre que, para uma aresta crítica  $(j, i)$ ,

*todo subautovetor  $\vec{u} = (u_1, \dots, u_n) \in (\mathbb{R} \cup \{+\infty\})^n$*

*verifica a igualdade  $(-u_i) \otimes S(i, j) \otimes u_j = \tau_S$ .*

Isto significa que, para  $(j, i) \in A_{\text{Cr}}$ ,

*o cone  $\mathcal{V}^\star(S)$  está contido no hiperplano  $u_i = u_j + S(i, j) - \tau_S$ .*

Consequentemente, vale a inclusão

$$\mathcal{V}^\star(S) \subset \bigcap_{(j,i) \in A_{\text{Cr}}} \left\{ \vec{u} \in (\mathbb{R} \cup \{+\infty\})^n : u_i = u_j + S(i, j) - \tau_S \right\}.$$

Em particular, quando houver ciclo crítico passando por todos os vértices do grafo, resulta que  $\mathcal{V}^\star(S)$  é uma reta.

Destacamos que

- situações nas quais os cones  $\mathcal{V}(S)$  e  $\mathcal{V}^*(S)$  coincidem não são raras;
- para casos específicos, é possível obter caracterizações envolvendo estes cones e os cones associados ao operador de Kleene  $S^*$ .

## Proposição

- ① *Se  $S$  é uma matriz irredutível definida, então*

$$\mathcal{V}^*(S) = \mathcal{V}(S^*) = \mathcal{V}^*(S^*).$$

- ② *Se  $S$  é uma matriz irredutível fortemente definida, então*

$$\mathcal{V}(S) = \mathcal{V}^*(S).$$

Destacamos que

- situações nas quais os cones  $\mathcal{V}(S)$  e  $\mathcal{V}^*(S)$  coincidem não são raras;
- para casos específicos, é possível obter caracterizações envolvendo estes cones e os cones associados ao operador de Kleene  $S^*$ .

## Proposição

- ① Se  $S$  é uma matriz irredutível definida, então

$$\mathcal{V}^*(S) = \mathcal{V}(S^*) = \mathcal{V}^*(S^*).$$

- ② Se  $S$  é uma matriz irredutível fortemente definida, então

$$\mathcal{V}(S) = \mathcal{V}^*(S).$$

## Tradução em Otimização de Médias

Obtemos novas formas de descrever corretores calibrados reescrevendo os itens do resultado anterior:

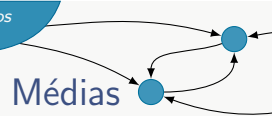
- ① para um custo  $c_S$  com  $m(c_S) = 0$ , os corretores de  $c_S$  coincidem com os corretores calibrados de  $c_{S^*}$ , os quais, de fato, representam todos os corretores de  $c_{S^*}$ ;

### Observação

Em particular, para um corretor calibrado  $u$  associado a  $c_S$ , temos a caracterização

$$u(j) = \min_{\substack{i \in S \\ i \rightarrow j}} [u(i) + c_{S^*}(i, j)], \quad \forall j \in V(G).$$

- ② se, além de  $m(c_S) = 0$ , a função  $c_S$  dá custo mínimo para todo ciclo de comprimento 1, então todo corretor de  $c_S$  satisfaz a propriedade de calibração.



## Tradução em Otimização de Médias

Obtemos novas formas de descrever corretores calibrados reescrevendo os itens do resultado anterior:

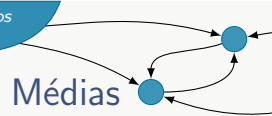
- ① para um custo  $c_S$  com  $m(c_S) = 0$ , os corretores de  $c_S$  coincidem com os corretores calibrados de  $c_{S^\star}$ , os quais, de fato, representam todos os corretores de  $c_{S^\star}$ ;

### Observação

Em particular, para um corretor calibrado  $u$  associado a  $c_S$ , temos a caracterização

$$u(j) = \min_{\substack{i \in S \\ i \xrightarrow{G} j}} [u(i) + c_{S^\star}(i, j)], \quad \forall j \in V(G).$$

- ② se, além de  $m(c_S) = 0$ , a função  $c_S$  dá custo mínimo para todo ciclo de comprimento 1, então todo corretor de  $c_S$  satisfaz a propriedade de calibração.



## Tradução em Optimização de Médias

Obtemos novas formas de descrever corretores calibrados reescrevendo os itens do resultado anterior:

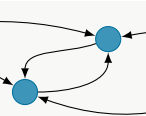
- 1 para um custo  $c_S$  com  $m(c_S) = 0$ , os corretores de  $c_S$  coincidem com os corretores calibrados de  $c_{S^\star}$ , os quais, de fato, representam todos os corretores de  $c_{S^\star}$ ;

### Observação

Em particular, para um corretor calibrado  $u$  associado a  $c_S$ , temos a caracterização

$$u(j) = \min_{\substack{i \in S \\ i \rightarrow j}} [u(i) + c_{S^\star}(i, j)], \quad \forall j \in V(G).$$

- 2 se, além de  $m(c_S) = 0$ , a função  $c_S$  dá custo mínimo para todo ciclo de comprimento 1, então todo corretor de  $c_S$  satisfaz a propriedade de calibração.



## Tradução em Optimização de Médias

Obtemos novas formas de descrever corretores calibrados reescrevendo os itens do resultado anterior:

- 1 para um custo  $c_S$  com  $m(c_S) = 0$ , os corretores de  $c_S$  coincidem com os corretores calibrados de  $c_{S^\star}$ , os quais, de fato, representam todos os corretores de  $c_{S^\star}$ ;

### Observação

Em particular, para um corretor calibrado  $u$  associado a  $c_S$ , temos a caracterização

$$u(j) = \min_{\substack{i \in S \\ i \rightarrow j}} [u(i) + c_{S^\star}(i, j)], \quad \forall j \in V(G).$$

- 2 se, além de  $m(c_S) = 0$ , a função  $c_S$  dá custo mínimo para todo ciclo de comprimento 1, então todo corretor de  $c_S$  satisfaz a propriedade de calibração.

Sumário

1 Operador de Kleene

2 Subautovetores

Subgrafo crítico e propriedade separante

Propriedades geométricas

3 Dicionário

## Dicionário entre álgebra *min-plus* e otimização de médias.

<i>Otimização de Médias</i>		<i>Álgebra Min-plus</i>
Custo sobre arestas $c : A(G) \rightarrow \mathbb{R}$ $c_S(i, j) = S(j, i), \quad \forall (i, j) \in A(G)$	$\iff$	Matriz $S_c(i, j) = \begin{cases} c(j, i) & \text{se } M(j, i) = 1 \\ +\infty & \text{se } M(j, i) = 0 \end{cases}$ $S \in (\mathbb{R} \cup \{+\infty\})^{n \times n}$
Constante cíclica minimal $m(c) = \inf\{c(P) : P \text{ ciclo em } G\}$	$\iff$	Média cíclica minimal $\tau_S := \inf \left\{ \frac{1}{k} \bigotimes_{\ell=0}^{k-1} S(i_\ell, i_{\ell+1}) : \begin{array}{l} 1 \leq i_0, \dots, i_k \leq n, \\ i_0 = i_k \text{ e } k \geq 1 \end{array} \right\}$
Corretor calibrado $u(j) = \min_{i \in \underline{G}_j} [u(i) - c(i, j) - m(c)]$	$\iff$	Autovetor $S \otimes \vec{u} = \tau_S \odot \vec{u}$
Potencial de Mainé $\phi_c(i, j) = \inf \left\{ k(c(P) - m(c)) : \begin{array}{l} P \text{ caminho de } i \text{ a } j \\ \text{com comprimento } k \geq 1 \end{array} \right\}$ $\phi_c(i, j) = S_{c-m(c)}^\infty(j, i), \quad \forall (i, j) \in A(G)$		Operador de Kleene $S^* = I \oplus ((-\tau_S) \odot S) \oplus ((-\tau_S) \odot S)^{2^\circ} \oplus \dots = I \oplus ((-\tau_S) \odot S)^\infty$
Corretor $c(i, j) + u(i) - u(j) - m(c) \geq 0$	$\iff$	Subautovetor $\tau_S \odot \vec{u} \preceq S \otimes \vec{u}$
Conjunto cíclico minimal $\mathcal{M}(c) := \{P \text{ ciclo em } G : c(P) = m(c)\}$	$\iff$	Subgrafo crítico $G_{Cr} = (V_{Cr}, A_{Cr})$
Corretor separante $c(i, j) + u(i) - u(j) = m(c) \Rightarrow \exists Q \text{ ciclo com } c(Q) = m(c) \text{ e } (i, j) \in Q$	$\iff$	Vetor separante $(D_{\vec{u}}^{-1} \otimes S \otimes D_{\vec{u}})(i, j) = \tau_S, \quad \forall (j, i) \in A_{Cr}$ $(D_{\vec{u}}^{-1} \otimes S \otimes D_{\vec{u}})(i, j) > \tau_S, \quad \forall (j, i) \notin A_{Cr}$

## Bibliografia



E. Garibaldi e J. T. A. Gomes,

*Otimização de Médias sobre Grafos Orientados*,

Coleção publicações matemáticas (29 CBM) 12, IMPA, 2013.

*Seções:* 5.3 e 5.4 (páginas 106 a 123);



P. Butkovič, H. Schneider e S. Sergeev,

On visualization scaling, subeigenvectors and Kleene stars in max algebra,

*Linear Algebra and its Applications* 431 (2009), 2395-2406.



M. Gondran e M. Minoux,

*Graphs, dioïds and semirings: new models and algorithms*,

Springer, 2008.



A complex directed graph with 7 nodes and many edges. The nodes are light blue circles. The edges are grey lines with arrows indicating direction. The graph has several cycles and some long-range connections. It is centered around a node at the bottom center.

**Muito Obrigado!**  
**Fim.**